arXiv:math/9810088v1 [math.QA] 14 Oct 1998

Topological description of $U_q(sl_2)$-representations. Description topologique des représentations de $U_q(sl_2)$.

Henrik Thys
Institut de Recherche de Mathématique Avancée
Université Louis Pasteur - CNRS
7, rue René Descartes
67084 Strasbourg Cédex - France
adresse électronique : thys@math.u-strasbg.fr

25 juin 1998

Abstract. We prove there is a equivalence of ribbon categories between a category introduced by Turaev whose morphisms are planar diagrams and a full subcategory of the category of finite-dimensional modules over $U_q(sl_2)$.

Résumé. Nous construisons une équivalence de catégorie rubanées entre une catégorie introduite par Turaev dont les morphismes sont des diagrammes planaires et une sous-catégorie pleine de la catégorie des modules de dimension finie sur $U_q(sl_2)$.

Introduction

Dans cet article nous résolvons un problème soulevé par V. Turaev en montrant que la catégorie des représentations de sl_2 ou de son algèbre enveloppante quantique peut se décrire à l'aide de diagrammes planaires.

Le lien entre la théorie des groupes quantiques et la théorie des nœuds est maintenant bien établi. Rappelons que les groupes quantiques ont été introduits autour de 1983–85 par Drinfeld et Jimbo. Ce sont des déformations à un paramètre des algèbres enveloppantes des algèbres de Lie semisimples. La théorie des représentations des groupes quantiques peut être considérée comme une généralisation puissante et féconde de la théorie classique des représentations des algèbres de Lie semisimples. Les représentations des groupes quantiques forment ce que Turaev a appelé une catégorie rubanée, c'est-à-dire une catégorie qui possède un produit tensoriel, un tressage et une dualité, ce qui permet d'étendre la notion de trace à ce cadre. Ce sont ces caractéristiques qui expliquent qu'à partir d'une telle catégorie on peut construire des invariants d'entrelacs qui généralisent le célèbre invariant construit par Vaughan Jones en 1984. La construction d'invariants

Mots-clés : groupe quantique, representation, invariant de nœuds, diagramme, catégorie monoïdale, catégorie rubanée.
Classification AMS : 17B37, 57M25, 81R50.

topologiques à partir des groupes quantiques et, plus généralement, de catégories rubanées est due à Reshetikhin et Turaev [RTu].

Si les groupes quantiques ont des applications spectaculaires en théorie des nœuds et en topologie en dimension 2 et 3, le problème de savoir si on peut complètement décrire les représentations des groupes quantiques et même des groupes classiques en termes d'objets géométriques comme les nœuds, les tresses ou leurs projections planaires reste largement ouvert. Le propos de cet article est de s'attaquer au cas le plus simple, c'est-à-dire à celui de l'algèbre de Lie semisimple sl_2 et de son avatar quantique. Nous construisons ici une équivalence de catégories entre une catégorie de représentations de l'algèbre enveloppante quantique de sl_2 et une catégorie $\mathcal{V}(a)$ construite par Turaev [Tu2, chap. XII], dans laquelle les morphismes sont des diagrammes planaires. Cette équivalence préserve les structures rubanées qui existent aussi bien du côté des représentations que du côté topologique. Nous démontrons une telle équivalence pour toutes les valeurs "génériques" du paramètre q qui entre dans la définition de l'algèbre enveloppante quantique de sl_2.

Lorsque ce paramètre est une racine de l'unité différente de 1, on sait que la catégorie des représentations d'une algèbre enveloppante quantique n'est plus semisimple. Lusztig a conjecturé une correspondance entre les représentations des groupes quantiques aux racines de l'unité et les représentations modulaires du groupe algébrique correspondant. Malgré la complexité de la catégorie des représentations pour q racine de l'unité, nous en obtenons néanmoins une description topologique à condition de nous débarrasser de ce que Turaev appelle les modules négligeables. Ces derniers sont des modules sur lesquelles la trace est identiquement nulle et apparaissent, par exemple, dans les travaux de Reshetikhin et Turaev [RTu].

La catégorie $\mathcal{V}(a)$ de Turaev est une élaboration des fameuses algèbres de Temperley-Lieb [TL] utilisant les idempotents de Jones-Wenzl [Jo1], [W]. Le rapport entre les algèbres de Temperley-Lieb et les invariants quantiques n'est pas nouveau. Il apparaît par exemple dans les travaux de [GHJo], [Jo2], [Kf], [KiM], [Li1], [Li2], [Tu1]. Ce qui est nouveau ici, ce sont les équivalences de catégories que nous construisons. L'énoncé principal du texte est le théorème 2.1.

Voici le plan de l'article. Au §1, après un bref rappel sur les catégories rubanées, nous résumons la théorie des représentations de l'algèbre enveloppante quantique $U_q(sl_2)$ aussi bien dans le cas générique que celui des racines de l'unité. Au §2, nous introduisons les diagrammes planaires, la catégorie $\mathcal{V}(a)$ et nous énonçons le théorème principal. Nous construisons un foncteur $\widetilde{\mathcal{F}}$ de $\mathcal{V}(a)$ vers la catégorie des représentations de $U_q(sl_2)$ aux §3 et §4. Le §5 est consacré à une courte étude des morphismes de la catégorie $\mathcal{V}(a)$. La démonstration que $\widetilde{\mathcal{F}}$ est une équivalence de catégories est donnée au §6 pour le cas générique et au §7 pour le cas racine de l'unité.

1. Représentations quantiques de sl_2

Dans cette section, nous rappelons les propriétés des représentations quantique s de sl_2 dont nous aurons besoin par la suite. Il est commode de les formuler en utilisant le langage des catégories monoïdales. Le contenu des §§1.1-1.3 est tiré de [K], [KRoTu] et [Tu2].

1.1. Catégories monoïdales

Rappelons qu'une *catégorie monoïdale* est une catégorie $\mathcal{C}$ munie d'un foncteur $\otimes : \mathcal{C} \times \mathcal{C} \to \mathcal{C}$ et d'un objet I, appelé *objet unité*, tels que

$$(U \otimes V) \otimes W = U \otimes (V \otimes W), \tag{1.1}$$
$$(f \otimes g) \otimes h = f \otimes (g \otimes h), \tag{1.2}$$
$$V \otimes I = I = I \otimes V, \tag{1.3}$$
$$f \otimes \mathrm{id}_I = f = \mathrm{id}_I \otimes f, \tag{1.4}$$

pour tous les objets U, V, W et tous les morphismes f, g, h de $\mathcal{C}$.

Ce que nous venons de définir est usuellement appelé une catégorie monoïdale stricte. Les catégories de représentations que nous considérerons ne sont évidemment pas strictes et il conviendrait de remplacer les égalités (1.1)-(1.4) par des isomorphismes naturels appropriés. L'abus que nous commettons en ne le faisant pas n'est pas sérieux et la méthode pour passer d'une catégorie monoïdale quelconque à une catégorie monoïdale stricte est bien connue, *cf.* [Ml].

Les catégories monoïdales que nous considérerons par la suite sont $\mathbb{C}$-linéaires, où $\mathbb{C}$ désigne le corps des nombres complexes. Cela signifie que $\mathrm{Hom}_{\mathcal{C}}(V, W)$ est un $\mathbb{C}$-espace vectoriel pour tout couple d'objet (V, W) de $\mathcal{C}$ et que la composition et le produit tensoriel des morphismes sont bilinéaires.

Pour simplifier, nous appellerons *catégorie tensorielle* toute catégorie monoïdale $\mathbb{C}$-linéaire telle que l'espace vectoriel $\mathrm{End}_{\mathcal{C}}(I)$ est de dimension 1.

Soient $(\mathcal{C}, \otimes, I)$ et $(\mathcal{C}', \otimes, I')$ des catégories tensorielles. Nous dirons qu'un foncteur $\mathcal{G} : \mathcal{C} \to \mathcal{C}'$ *conserve les structures tensorielles* si les conditions suivantes sont réalisées :

1. Pour tout couple (x, y) d'objets de $\mathcal{C}$, l'application $\mathcal{G} : \mathrm{Hom}_{\mathcal{C}}(x, y) \to \mathrm{Hom}_{\mathcal{C}'}(\mathcal{G}(x), \mathcal{G}(y))$ est $\mathbb{C}$-linéaire.
2. $\mathcal{G}(x \otimes y) = \mathcal{G}(x) \otimes \mathcal{G}(y)$ pour tout couple (x, y) d'objets et de morphismes de $\mathcal{C}$;
3. $\mathcal{G}(I) = I'$ et $\mathcal{G}$ réalise un isomorphisme de $\mathrm{End}_{\mathcal{C}}(I)$ sur $\mathrm{End}_{\mathcal{C}'}(I')$;

1.2. Catégories rubanées

Soit $\mathcal{C}$ une catégorie monoïdale. Un *tressage* est une famille d'isomorphismes naturels $c = (c_{V,W} : V \otimes W \to W \otimes V)$, où V, W décrivent l'ensemble des objets de $\mathcal{C}$, telle que

$$c_{U \otimes V, W} = (c_{U,V} \otimes \mathrm{id}_V)(\mathrm{id}_U \otimes c_{V,W}) \quad \text{et} \quad c_{U, V \otimes W} = (\mathrm{id}_V \otimes c_{U,W})(c_{U,V} \otimes \mathrm{id}_W)$$

pour tous les objets U, V, W de $\mathcal{C}$. Nous dirons que $\mathcal{C}$ est munie d'une *dualité* si à tout objet V on peut associer un objet V^*, appelé *dual* de V, et des morphismes $b_V : I \longrightarrow V \otimes V^*$ et $d_V : V^* \otimes V \longrightarrow I$ dans $\mathcal{C}$ tels que

$$(id_V \otimes d_V)(b_V \otimes \mathrm{id}_V) = \mathrm{id}_V \quad \text{et} \quad (d_V \otimes \mathrm{id}_{V^*})(\mathrm{id}_{V^*} \otimes b_V) = \mathrm{id}_{V^*} . \tag{1.5}$$

Enfin, une *torsion* dans $\mathcal{C}$ est une famille d'isomorphismes naturels $\theta = (\theta_V : V \to V)$, où V décrit l'ensemble des objets de $\mathcal{C}$, telle que

$$\theta_{V \otimes W} = c_{V,W} c_{W,V} (\theta_V \otimes \theta_W)$$

pour tous les objets V, W de $\mathcal{C}$.

Une *catégorie rubanée* est une catégorie tensorielle $\mathcal{C}$ munie d'un tressage c, d'une dualité $(*, b, d)$ et d'une torsion θ telle que

$$(\theta_V \otimes \mathrm{id}_{V^*})b_V = (\mathrm{id}_V \otimes \theta_{V^*})b_V$$

pour tout objet V de $\mathcal{C}$.

1.3. Morphismes négligeables

Soit $(\mathcal{C}, \otimes, I, c, *, \theta)$ une catégorie rubanée, V un objet de $\mathcal{C}$ et f un endomorphisme de V. La *trace quantique* de f est l'élément de $\mathrm{End}_{\mathcal{C}}(I)$ défini par

$$\mathrm{tr}_q(f) = d_V c_{V,V^*}(\theta_V f \otimes \mathrm{id}_{V^*})b_V. \tag{1.6}$$

La trace quantique jouit des propriétés suivantes :

1. Pour tous les morphismes $f : V \to W$, $g : W \to V$, nous avons $\mathrm{tr_q}(fg) = \mathrm{tr_q}(gf)$.
2. Pour tous les endomorphismes f, g d'objets de $\mathcal{C}$, nous avons $\mathrm{tr_q}(f \otimes g) = \mathrm{tr_q}(f)\,\mathrm{tr_q}(g)$.
3. Pour tout endomorphisme k de I, nous avons $\mathrm{tr_q}(k) = k$.

Un morphisme $f : V \to W$ dans $\mathcal{C}$ est dit *négligeable* si $\mathrm{tr}_q(fg) = 0$ pour tout $g \in \mathrm{Hom}_C(W, V)$. Un objet V de $\mathcal{C}$ est dit *négligeable* si son morphisme identité est négligeable, *i.e.* $\mathrm{tr_q}(f) = 0$ pour tout endomorphisme f de V. Il en résulte que, pour tout objet W de $\mathcal{C}$, tout morphisme de $\mathrm{Hom}_{\mathcal{C}}(V, W)$ ou $\mathrm{Hom}_{\mathcal{C}}(W, V)$ est négligeable. La composition et le produit tensoriel d'un morphisme négligeable avec n'importe quel autre morphisme est un morphisme négligeable. Nous en déduisons que le produit tensoriel d'un objet négligeable avec n'importe quel autre objet est un objet négligeable, *cf.* [Tu2, chap. XI].

Nous notons $\mathrm{Negl}_{\mathcal{C}}(V, W)$ le sous-espace vectoriel de $\mathrm{Hom}_{\mathcal{C}}(V, W)$ des morphismes négligeables et posons $\mathrm{hom}_{\mathcal{C}}(V, W) = \mathrm{Hom}_{\mathcal{C}}(V, W)/\,\mathrm{Negl}_{\mathcal{C}}(V, W)$. Nous pouvons alors définir une catégorie $\overline{\mathcal{C}}$ ayant les mêmes objets que $\mathcal{C}$ et telle que $\mathrm{Hom}_{\overline{\mathcal{C}}}(V, W) = \mathrm{hom}_{\mathcal{C}}(V, W)$ pour tout couple (V, W) d'objets de $\mathcal{C}$. Turaev ([Tu2, chap. XI]) appelle cette catégorie la catégorie purifiée de $\mathcal{C}$. Par construction, $\overline{\mathcal{C}}$ est une catégorie rubanée qui n'admet pas de morphismes négligeables non nuls.

1.4. Rappels sur $U_q(sl_2)$

Pour plus de détails, voir [CK], [CP], [Ja], [K], [KRoTu], [RTu], [Tu2]. Soit q un nombre complexe différent de ± 1. L'algèbre enveloppante quantifiée $U_q(sl_2)$ est l'algèbre engendrée sur $\mathbb{C}$ par K, K^{-1}, X et Y et les relations

$$\begin{gathered} KK^{-1} = K^{-1}K = 1, \\ KXK^{-1} = q^2X, \quad KYK^{-1} = q^{-2}Y, \\ XY - YX = \frac{K - K^{-1}}{q - q^{-1}}. \end{gathered}$$

L'algèbre $U_q(sl_2)$ est une algèbre de Hopf dont la comultiplication Δ, la coünité ε et l'antipode S sont déterminées par

$$\begin{array}{lll} \Delta(X) = 1 \otimes X + X \otimes K, & \Delta(Y) = K^{-1} \otimes Y + Y \otimes 1, & \Delta(K) = K \otimes K, \\ S(X) = -XK^{-1}, & S(Y) = -KY, & S(K) = K^{-1} \\ \varepsilon(X) = 0, & \varepsilon(Y) = 0, & \varepsilon(K) = 1. \end{array}$$

Une représentation quantique de sl_2 est un module sur l'algèbre $U_q(sl_2)$. Supposons que q soit un nombre complexe générique (c'est à dire non racine de l'unité) ou bien une racine primitive $2r^{\text{ème}}$ de l'unité, où r est un entier, $r \geq 3$. On définit $\tilde{J} = \tilde{J}(q)$ comme l'ensemble des entiers ≥ 0 si q est générique et comme l'ensemble fini $\{0, \ldots, r-2\}$ si q est une racine primitive $2r^{\text{ème}}$ de l'unité. Pour tout entier $n \in \tilde{J}$ il existe un $U_q(sl_2)$-module simple V_n de dimension $n+1$ qui admet une base $v_0^{(n)}, \ldots, v_n^{(n)}$ telle que

$$Kv_p^{(n)} = q^{n-2p}\, v_p^{(n)}, \quad Xv_p^{(n)} = [n-p+1]_q\, v_{p-1}^{(n)}, \quad Yv_p^{(n)} = [p+1]_q\, v_{p+1}^{(n)},$$

où $[k]_q = \frac{q^k - q^{-k}}{q - q^{-1}}$ et $v_{-1}^{(n)} = v_{n+1}^{(n)} = 0$. Le module V_n est isomorphe à son dual. Lorsque q est générique, tout $U_q(sl_2)$-module simple est isomorphe à un module V_n, au produit tensoriel par un module de dimension 1 près, *cf.* [Lu], [Ro]. Lorsque q est une racine primitive $2r^{\text{ème}}$ de l'unité, tout module simple de dimension $n < r$ est isomorphe à V_n, au produit tensoriel par un module de dimension 1 près. En outre, il n'y a pas de module simple de dimension $n > r$ (*cf.* par exemple [DeCK], [K]).

Notons $\mathcal{R}(q)$ la sous-catégorie pleine de la catégorie des $U_q(sl_2)$-modules dont les objets sont les modules isomorphes à des produits tensoriels de modules V_n où $n \in \tilde{J}$. Notons également $\overline{\mathcal{R}}(q)$ la catégorie obtenue à partir de $\mathcal{R}(q)$ en annulant les morphismes négligeables, *cf.* §1.3. Notre but est de décrire topologiquement la catégorie $\overline{\mathcal{R}}(q)$. On notera que, si q est générique, alors $\overline{\mathcal{R}}(q) = \mathcal{R}(q)$. En effet, lorsque q est générique, la catégorie des $U_q(sl_2)$-modules de dimension finie est semisimple. Par conséquent ([Tu2, chap. XI]), il n'y a pas de morphisme négligeable non nul entre $U_q(sl_2)$-modules de dimension finie.

Les catégories $\mathcal{R}(q)$ et $\overline{\mathcal{R}}(q)$ sont rubanées. Explicitons les morphismes de structure dans le cas du module simple V_1.

1.5. Le module fondamental

Pour simplifier, nous noterons V le *module fondamental* V_1 de dimension 2, $v_0 = v_0^{(1)}$, $v_1 = v_1^{(1)}$ et (v^0, v^1) la base duale de (v_0, v_1). Nous faisons le choix d'une racine carrée $q^{1/2}$ de q. Le tressage $c_{V,V} \in \mathrm{End}_{\mathcal{R}(q)}(V \otimes V)$ est donné dans la base (v_0, v_1) par

$$c_{V,V}(v_0 \otimes v_0) = q^{1/2}\, v_0 \otimes v_0, \quad c_{V,V}(v_0 \otimes v_1) = q^{-1/2}\, v_1 \otimes v_0, \tag{1.7}$$

$$c_{V,V}(v_1 \otimes v_1) = q^{1/2}\, v_1 \otimes v_1, \quad c_{V,V}(v_1 \otimes v_0) = q^{-1/2}\, v_0 \otimes v_1 + q^{-1/2}(q - q^{-1})\, v_1 \otimes v_0. \tag{1.8}$$

Les morphismes $b_V : \mathbb{C} \to V \otimes V^*$ et $d_V : V^* \otimes V \to \mathbb{C}$ sont donnés par

$$b_V(1) = v_0 \otimes v^0 + v_1 \otimes v^1 \quad \text{et} \quad d_V(v^i \otimes v_j) = \delta_{ij}. \tag{1.9}$$

Enfin la torsion $\theta_V : V \to V$ est donnée par

$$\theta_V = q^{3/2}\, \mathrm{id}_V\,. \tag{1.10}$$

2. Enoncé du théorème principal

Nous voulons décrire la catégorie $\overline{\mathcal{R}}(q)$ du §1.4 en termes topologiques. Nous allons commencer par définir une catégorie de diagrammes.

2.1. Diagrammes

Soient k et ℓ deux entiers positifs. Un *diagramme* de type (k, ℓ) consiste en un nombre fini d'arcs et de cercles plongés dans la bande $\mathbb{R} \times [0, 1]$. On suppose que le plongement n'admet que des points doubles ordinaires et que les extrémités des arcs sont k points fixés sur la droite $\mathbb{R} \times 0$ (les "entrées") et ℓ points fixés sur la droite $\mathbb{R} \times 1$ (les "sorties"). A chaque croisement on distingue un brin passant dessus et un brin passant dessous. De plus, les diagrammes sont considérés à isotopie de $\mathbb{R} \times [0; 1]$ fixant les bords près. Ces opérations sont données dans les figures 1 et 2, où "$\sim$" désigne l'isotopie.

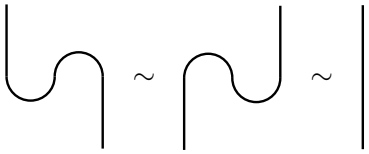

Figure 1.

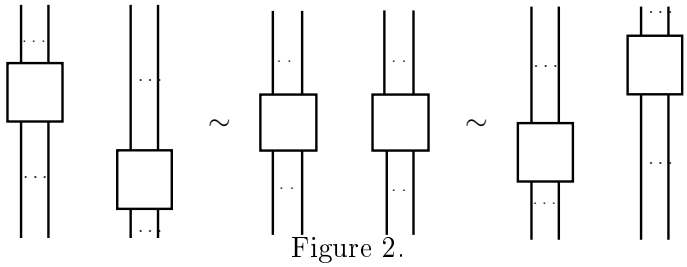

Figure 2.

Dans la figure 2, un carré représente un diagramme quelconque.

Fixons un nombre complexe a non nul. On définit alors $E_{k,\ell}$

comme l'espace vectoriel sur $\mathbb{C}$ engendré par les classes d'isotopie des diagrammes de type (k, ℓ) modulo les relations suivantes :

$$\mathcal{D} \cup \bigcirc = -(a^2 + a^{-2})\,\mathcal{D}, \tag{2.1}$$

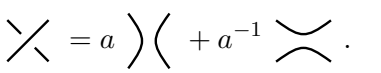

(2.2)

Dans la première relation, $\mathcal{D} \cup \bigcirc$ est la classe d'isotopie de l'union disjointe du diagramme $\mathcal{D}$ et d'un cercle. La deuxième relation lie trois diagrammes qui sont égaux sauf dans un disque du plan où ils sont comme indiqué. Cette relation s'appelle la *relation de Kauffman*. Il est connu (*cf.* [Kf]) que l'espace $E_{k,\ell}$ a pour base l'ensemble des classes d'isotopie des diagrammes *simples*, c'est-à-dire ceux qui ne contiennent ni croisements, ni cercles.

2.2. La catégorie de Temperley-Lieb

Nous sommes maintenant en mesure de définir la catégorie de Temperley-Lieb $\mathcal{S}(a)$. Ses objets sont les entiers naturels. Un morphisme $k \to \ell$ est un élément de $E_{k,\ell}$. Lorsque $\mathcal{D}_1$ et $\mathcal{D}_2$ sont des diagrammes de type respectif (ℓ, m) et (k, ℓ), la composition $\mathcal{D}_1 \circ \mathcal{D}_2$ est le diagramme de type (k, m) obtenu en posant $\mathcal{D}_1$ au-dessus de $\mathcal{D}_2$ et en collant chaque sortie de $\mathcal{D}_2$ à l'entrée correspondante de $\mathcal{D}_1$. Cette opération s'étend par linéarité à tous les morphismes. Le morphisme identité de l'objet k est la classe d'isotopie du diagramme simple à k brins verticaux.

On munit $\mathcal{S}(a)$ d'une structure de catégorie monoïdale de la manière suivante. Le produit tensoriel de deux objets k, ℓ est leur somme : $k \otimes \ell = k + \ell$. L'objet unité est 0. Le produit tensoriel de deux diagrammes $\mathcal{D}_1 \otimes \mathcal{D}_2$ est donné par la juxtaposition de ces deux diagrammes, $\mathcal{D}_1$ étant placé à gauche de $\mathcal{D}_2$. Cette opération est étendue à tous les morphismes par linéarité. La catégorie $\mathcal{S}(a)$ est tensorielle au sens du §1.1 car $E_{0,0}$ est isomorphe à $\mathbb{C}$. Elle est munie d'une structure rubanée pour laquelle tout objet est autodual : $k^* = k$, et les morphismes de structures $c_{n,m}$, θ_n, b_n et d_n sont définis par les diagrammes des figures 3 et 4. Notons que dans [Tu2, chap. XII], Turaev définit la torsion sans le signe $(-1)^n$. On comprendra l'intérêt de cette modification dans la proposition 3.7.

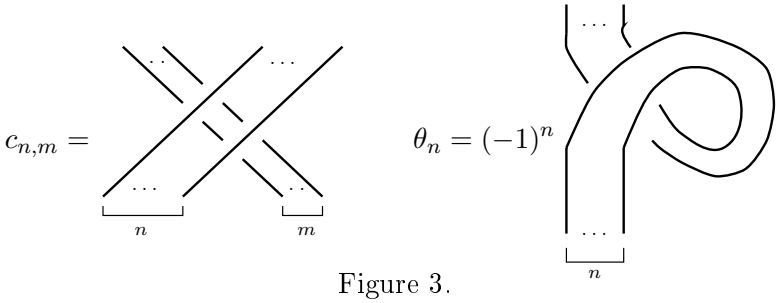

Figure 3.

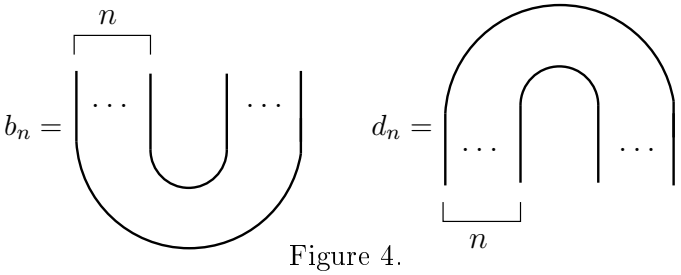

Figure 4.

2.3. Les idempotents de Jones-Wenzl

Il est bien connu (*cf.* [Tu2, XII. 3 et 4], [W]) que, pour $k \geq 1$, l'algèbre de Temperley-Lieb $E_k = E_{k,k}$ est engendrée par les $k-1$ éléments $e_1, \ldots, e_{k-1}$ où e_i est le diagramme simple défini par la figure 5. Pour chaque k strictement inférieur à l'ordre de a^4, l'algèbre E_k contient un idempotent central particulier, appelé l'idempotent de Jones-Wenzl : il est défini comme l'unique élément $f_k \in E_k$ tel que $f_k - 1_k$ soit un polynôme non commutatif sans terme constant en $e_1, \ldots, e_{k-1}$ et tel que $f_k e_i = e_i f_k = 0$ pour tout $i = 1, \ldots, k-1$.

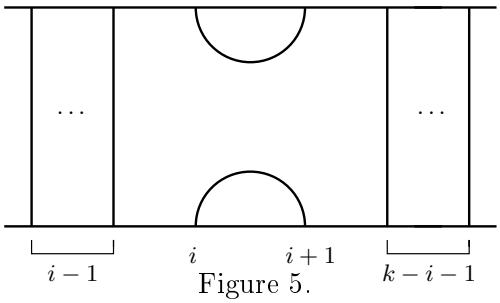

Figure 5.

2.4. La catégorie de Turaev

Rappelons la définition de la catégorie $\mathcal{V}(a)$ donnée par Turaev ([Tu2, chap. XII]). Nous supposons que le nombre complexe a est générique ou qu'il est une racine $4r^{\text{ème}}$ de l'unité où $r \geq 3$. L'ensemble $J = J(a)$ est défini comme l'ensemble des entiers ≥ 1 si a est générique et comme l'ensemble fini $\{1, 2, \ldots, r-2\}$ si a est une racine $4r^{\text{ème}}$ de l'unité.

Les objets de la catégorie $\mathcal{V}(a)$ sont les suites finies $s = (n_1, \ldots, n_m)$ d'éléments de J, y compris la suite vide $\emptyset$. Pour une telle suite, on pose $|s| = n_1 + \cdots + n_m$ et

$$f_s = f_{n_1} \otimes \cdots \otimes f_{n_m} \in E_{|s|}. \tag{2.3}$$

On convient que $f_\emptyset = 1 \in E_0$. Les morphismes de $\mathcal{V}(a)$ sont des morphismes de $\mathcal{S}(a)$ particuliers. Soient s et s' des objets de $\mathcal{V}(a)$. Pour tout morphisme $g \in E_{|s|,|s'|}$, on pose

$$\widehat{g} = f_{s'} g f_s \in E_{|s|,|s'|}. \tag{2.4}$$

On obtient ainsi un endomorphisme idempotent $\widehat{\ } : E_{|s|,|s'|} \to E_{|s|,|s'|}$. Nous définissons alors $\mathrm{Hom}_{\mathcal{V}(a)}(s, s')$ comme l'image de cet endomorphisme :

$$\mathrm{Hom}_{\mathcal{V}(a)}(s, s') = \widehat{E}_{|s|,|s'|} = \{\widehat{g}, \quad g \in E_{|s|,|s'|}\}. \tag{2.5}$$

La composition des morphismes dans $\mathcal{V}(a)$ est induite par celle dans $\mathcal{S}(a)$.

La catégorie $\mathcal{V}(a)$ est une catégorie rubanée au sens du §1.2. Le produit tensoriel de deux objets s, s' est la concaténation ss' des suites. L'objet unité est la suite vide. Le produit tensoriel des morphismes est induit par celui des morphismes de $\mathcal{S}(a)$. Si s et s' sont des objets de $\mathcal{V}(a)$, le tressage $c_{s,s'} : s \otimes s' \to s' \otimes s$ est donné par

$$c_{s,s'} = \widehat{c}_{|s|,|s'|} = (f_{s'} \otimes f_s) c_{|s|,|s'|} (f_s \otimes f_{s'}). \tag{2.6}$$

Le dual s^* d'un objet $s = (n_1, \ldots, n_m)$ est

$$s^* = (n_m, \ldots, n_1). \tag{2.7}$$

Les morphismes $b_s : \mathbb{C} \to s \otimes s^*$, $d_s : s^* \otimes s \to \mathbb{C}$ et la torsion $\theta_s : s \to s$ sont définis par

$$b_s = \widehat{b}_{|s|} = (f_s \otimes f_{s^*}) b_{|s|}, \tag{2.8}$$

$$d_s = \widehat{d}_{|s|} = d_{|s|} (f_{s^*} \otimes f_s), \tag{2.9}$$

$$\theta_s = \widehat{\theta}_{|s|} = f_s \theta_{|s|} f_s. \tag{2.10}$$

Nous noterons $\overline{\mathcal{V}}(a)$ la catégorie rubanée obtenue à partir de $\mathcal{V}(a)$ en annulant les morphismes négligeables comme au §1.3. Nous énonçons maintenant le résultat principal de l'article. C'est une réponse au problème 24 soulevé par Turaev dans [Tu2 p. 572].

Théorème 2.1 *Soit a un nombre complexe et $q = a^2$. Alors*

1. *si a et q sont génériques, il existe un équivalence de catégories $\widetilde{\mathcal{F}} : \mathcal{V}(a) \to \mathcal{R}(q)$;*
2. *si a est une racine primitive $4r^{ème}$ de l'unité avec $r \geq 3$ et q une racine primitive $2r^{ème}$ de l'unité, il existe une équivalence de catégories $\overline{\mathcal{F}} : \overline{\mathcal{V}}(a) \to \overline{\mathcal{R}}(q)$.*

Les foncteurs $\widetilde{\mathcal{F}}$ et $\overline{\mathcal{F}}$ réalisant l'équivalence conserve les structures rubanées.

Pour démontrer ce théorème, nous construisons d'abord un foncteur $\widetilde{\mathcal{F}} : \mathcal{V}(a) \to \mathcal{R}(q)$ qui conserve les structures rubanées, *cf.* proposition 4.3. Nous montrons ensuite que $\widetilde{\mathcal{F}}$ est une équivalence de catégories (à négligeables près). Le foncteur $\widetilde{\mathcal{F}}$ se factorise à travers un foncteur $\mathcal{F} : \mathcal{S}(a) \to \mathcal{R}(q)$ décrit au §3. Le §4 est consacré à la construction du foncteur $\widetilde{\mathcal{F}}$ et à la démonstration qu'il est essentiellement surjectif. La démonstration de la pleine fidélité de $\widetilde{\mathcal{F}}$ et de $\overline{\mathcal{F}}$ sera donnée au §6 dans le cas générique et au §7 dans le cas des racines de l'unité.

3. Foncteurs définis sur $\mathcal{S}(a)$

Dans ce paragraphe nous donnons les conditions que doit vérifier une catégorie $\mathcal{C}$ pour qu'il existe un foncteur covariant $\mathcal{S}(a) \to \mathcal{C}$.

3.1. Les $\mathcal{S}(a)$-objets

Rappelons qu'on a fixé un nombre complexe a non nul. Nous utilisons la notation $\mathcal{S}(a)$ du §2.2.

Définition 3.1 *Soit $(\mathcal{C}, \otimes, I)$ une catégorie tensorielle. On appelle $\mathcal{S}(a)$-objet de $\mathcal{C}$ tout triplet (V, b, d) où V est un objet de $\mathcal{C}$, $b : I \to V \otimes V$ et $d : V \otimes V \to I$ sont des morphismes de $\mathcal{C}$ tels que*

$$db = -(a^2 + a^{-2}) \quad et \quad (d \otimes \mathrm{id}_V)(\mathrm{id}_V \otimes b) = (\mathrm{id}_V \otimes d)(b \otimes \mathrm{id}_V) = \mathrm{id}_V \,. \tag{3.1}$$

Proposition 3.2 *Soit $(\mathcal{C}, \otimes, I)$ une catégorie tensorielle. Pour tout $\mathcal{S}(a)$-objet (V, b, d) de $\mathcal{C}$, il existe un unique foncteur $\mathcal{F} : \mathcal{S}(a) \to \mathcal{C}$ conservant les structures tensorielles, tel que*

$$\mathcal{F}(1) = V, \quad \mathcal{F}(\bigcup) = b, \quad \mathcal{F}(\bigcap) = d.$$

Démonstration. Montrons tout d'abord que, si un tel foncteur existe, il est unique. En effet, puisque $n = 1 \otimes \cdots \otimes 1$ (produit tensoriel n fois de l'objet 1) dans $\mathcal{S}(a)$ et que $\mathcal{F}$ conserve les structures tensorielles, nous devons avoir $\mathcal{F}(n) = V^{\otimes n}$. L'unicité sur les morphismes vient du fait que tout morphisme de $\mathrm{Hom}_{\mathcal{S}(a)}(n, m)$ est combinaison linéaire de diagrammes simples et que ceux-ci sont construits par produits tensoriel et composition à partir des trois diagrammes élémentaires

$$\mathsf{I}, \quad \bigcup, \quad \bigcap$$

dont la valeur est déterminée par les conditions de l'énoncé (nécessairement $\mathcal{F}(\mathsf{I}) = \mathrm{id}_V$ puisque $\mathcal{F}$ est un foncteur).

Montrons maintenant l'existence de ce foncteur. Si n est un entier positif, posons $\mathcal{F}(n) = V^{\otimes n}$, avec $V^{\otimes 0} = I$ par convention. Puisque $n = 1 \otimes \cdots \otimes 1$ et que 0 est l'objet unité de $\mathcal{S}(a)$, nous voyons que $\mathcal{F}$ est bien défini sur les objets et qu'il conserve leurs produits tensoriels. En ce qui concerne les morphismes, si n et m sont des entiers positifs, nous définissons $\mathcal{F}$ sur $E_{n,m}$ en déterminant sa valeur sur une des bases de $E_{n,m}$ composées de tous les diagrammes simples et nous étendons la définition par linéarité à tout élément de $\mathrm{Hom}_{\mathcal{S}(a)}(n,m)$. La valeur de $\mathcal{F}$ sur un diagramme simple est donnée par conservation de la composition et du produit tensoriel puisque un diagramme simple est construit par produits tensoriels et compositions des diagrammes

dont la valeur est déterminée par l'énoncé. Pour que $\mathcal{F}$ soit bien défini, il reste à vérifier que les relations des figures 1–2 et la relation (2.1) sont préservées par $\mathcal{F}$. En ce qui concerne la relation (2.1), nous avons

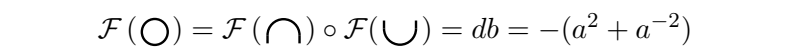

puisque (V,b,d) est un $\mathcal{S}(a)$-objet. Les relations de la figure 2 sont vérifiées dans la catégorie monoïdale $\mathcal{C}$ en raison de la fonctorialité du produit tensoriel. En ce qui concerne les relations de la figure 1, nous avons

car (V,b,d) est un $\mathcal{S}(a)$-objet. On vérifie de même que $\mathcal{F}(\text{⌇}) = \mathrm{id}_V$. ∎

Corollaire 3.3 *Sous les conditions de la proposition précédente, nous avons*

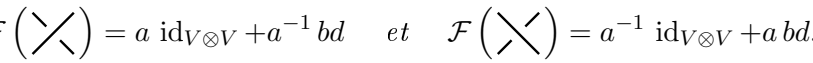

Démonstration. On vérifie aisément que les morphismes $a\ \mathrm{id}_{V\otimes V} + a^{-1}\, bd$ et $a^{-1}\ \mathrm{id}_{V\otimes V} + a\, bd$ sont inverses l'un de l'autre. Le corollaire découle alors immédiatement de la relation de Kauffman (2.2). ∎

Remarque : Réciproquement, si $\mathcal{F} : \mathcal{S}(a) \to \mathcal{C}$ est un foncteur vers une catégorie tensorielle $(\mathcal{C}, \otimes, I)$ conservant les structures tensorielles , alors $(\mathcal{F}(1), \mathcal{F}(\bigcup), \mathcal{F}(\bigcap))$ est un $\mathcal{S}(a)$-objet de $\mathcal{C}$.

3.2. Les sl_2-objets

Donnons un exemple important de catégorie tensorielle admettant un $\mathcal{S}(a)$-objet.

Définition 3.4 *Soit $(\mathcal{C}, \otimes, I, c, *, \theta)$ une catégorie rubanée. On appelle sl_2-objet de $\mathcal{C}$ tout couple (V,α) où V est un objet de $\mathcal{C}$ et $\alpha : V \to V^*$ un isomorphisme de V sur son dual tel que*

$$d_V(\alpha \otimes \alpha^{-1})b_V = -(a^2 + a^{-2}).$$

Proposition 3.5 *Soit $(\mathcal{C}, \otimes, I, c, *, \theta)$ une catégorie rubanée et (V,α) un sl_2-objet. Si on pose $b = (\mathrm{id}_V \otimes \alpha^{-1})b_V$ et $d = d_V(\alpha \otimes \mathrm{id}_V)$, alors le triplet (V,b,d) est un $\mathcal{S}(a)$-objet de $\mathcal{C}$.*

Démonstration. Il faut vérifier les relations (3.1). Nous avons d'abord

$$db = d_V(\alpha \otimes \alpha^{-1})b_V = -(a^2 + a^{-2}).$$

Ensuite,

$$\begin{aligned}(\mathrm{id}_V \otimes d)(b \otimes \mathrm{id}_V) &= (\mathrm{id}_V \otimes (d_V(\alpha \otimes \mathrm{id}_V)))\left(((\mathrm{id}_V \otimes \alpha^{-1})b_V) \otimes \mathrm{id}_V\right)\\ &= (\mathrm{id}_V \otimes d_V)(\mathrm{id}_V \otimes \alpha \otimes \mathrm{id}_V)(\mathrm{id}_V \otimes \alpha^{-1} \otimes \mathrm{id}_V)(b_V \otimes \mathrm{id}_V)\\ &= (\mathrm{id}_V \otimes d_V)(b_V \otimes \mathrm{id}_V) = \mathrm{id}_V,\end{aligned}$$

où la seconde égalité est une conséquence de la fonctorialité du produit tensoriel et la dernière égalité provient de (1.5). Enfin, nous avons

$$\begin{aligned}(d \otimes \mathrm{id}_V)(\mathrm{id}_V \otimes b) &= ((d_V(\alpha \otimes \mathrm{id}_V)) \otimes \mathrm{id}_V)\left(\mathrm{id}_V \otimes ((\mathrm{id}_V \otimes \alpha^{-1})b_V)\right)\\ &= (d_V \otimes \mathrm{id}_V)(\alpha \otimes \mathrm{id}_V \otimes \mathrm{id}_V)(\mathrm{id}_V \otimes \mathrm{id}_V \otimes \alpha^{-1})(\mathrm{id}_V \otimes b_V)\\ &= (d_V \otimes \alpha^{-1})(\alpha \otimes b_V) = \alpha^{-1}(d_V \otimes \mathrm{id}_{V^*})(\mathrm{id}_{V^*} \otimes b_V)\alpha = \alpha^{-1}\alpha = \mathrm{id}_V,\end{aligned}$$

comme conséquence de la fonctorialité du produit tensoriel et de (1.5). ∎

3.3. Un foncteur $\mathcal{F} : \mathcal{S}(a) \to U_q$–Mod

Nous fixons pour toute la suite deux nombres complexes a et q tels que $q = a^2$. Nous supposons en outre que a est soit générique, soit une racine primitive $4r^{\text{ème}}$ de l'unité avec $r \geq 3$. En reprenant les notations des §1.4 et §2.4, nous avons $\tilde{J} = J \cup \{0\}$. Nous noterons U_q-Mod la catégorie des $U_q(sl_2)$-modules de dimension finie. Dans toute la suite, "module" signifiera "module de dimension finie sur $U_q(sl_2)$".

Soit $V = V_1$ le module fondamental défini au §1.5. On considère l'isomorphisme de $U_q(sl_2)$-modules $\alpha : V \to V^*$ défini par

$$\alpha(v_0) = v^1 \quad \text{et} \quad \alpha(v_1) = -q^{-1}v^0. \tag{3.2}$$

Proposition 3.6 *Le couple (V, α) est un sl_2-objet de la catégorie U_q-Mod.*

Démonstration. L'isomorphisme α est $U_q(sl_2)$-linéaire : nous laissons cette vérification élémentaire au lecteur. Montrons que $d_V(\alpha \otimes \alpha^{-1})b_V = -(a^2 + a^{-2})$. En utilisant le §1.5, nous avons

$$\begin{aligned}d_V(\alpha \otimes \alpha^{-1})b_V &= d_V(\alpha \otimes \alpha^{-1})(v_0 \otimes v^0 + v_1 \otimes v^1)\\ &= d_V(-q\, v^1 \otimes v_1 - q^{-1}\, v^0 \otimes v_0)\\ &= -(q + q^{-1}) = -(a^2 + a^{-2}).\ \blacksquare\end{aligned}$$

Dans toute la suite, nous poserons $d = d_V(\alpha \otimes \mathrm{id}_V)$ et $b = (\mathrm{id}_V \otimes \alpha^{-1})b_V$. Les formules (1.9) et (3.2) impliquent que

$$\begin{array}{cc} b(1) = v_1 \otimes v_0 - q\, v_0 \otimes v_1 & d(v_0 \otimes v_0) = d(v_1 \otimes v_1) = 0,\\ d(v_0 \otimes v_1) = 1, & d(v_1 \otimes v_0) = -q^{-1}. \end{array} \tag{3.3}$$

Proposition 3.7 *Il existe un unique foncteur $\mathcal{F} : \mathcal{S}(a) \longrightarrow U_q$-Mod conservant les structures tensorielles tel que*

$$\mathcal{F}(1) = V, \quad \mathcal{F}\left(\bigcup\right) = b \quad et \quad \mathcal{F}\left(\bigcap\right) = d.$$

En outre, pour tout couple (n, m) d'objets de $\mathcal{S}(a)$, on a

$$\mathcal{F}(c_{n,m}) = c_{\mathcal{F}(n),\mathcal{F}(m)},$$
$$\mathcal{F}(b_n) = \left(\mathrm{id}_{\mathcal{F}(n)} \otimes (\alpha^{-1})^{\otimes n}\right) b_{\mathcal{F}(n)} \quad et \quad \mathcal{F}(d_n) = d_{\mathcal{F}(n)} \left(\alpha^{\otimes n} \otimes \mathrm{id}_{\mathcal{F}(n)}\right),$$
$$\mathcal{F}(\theta_n) = \theta_{\mathcal{F}(n)}.$$

Démonstration. L'existence et l'unicité du foncteur $\mathcal{F}$ conservant les structures tensorielles est une conséquence des propositions 3.2, 3.5 et 3.6. Nous laissons le soin au lecteur de vérifier les égalités de la seconde partie de l'énoncé. ■

4. Construction d'un foncteur $\mathcal{V}(a) \longrightarrow \mathcal{R}(q)$

A partir du foncteur $\mathcal{F} : \mathcal{S}(a) \to \mathcal{U}_q$−Mod de la proposition 3.7 nous définissons un foncteur $\widetilde{\mathcal{F}} : \mathcal{V}(a) \to U_q$−Mod comme suit :

i. $\widetilde{\mathcal{F}}(s) = \mathcal{F}(f_s)V^{\otimes|s|}$ pour tout objet s de $\mathcal{V}(a)$;

ii. $\widetilde{\mathcal{F}}(\widehat{g}) = \mathcal{F}(\widehat{g})$ pour tout morphisme $\widehat{g}$ de $\mathcal{V}(a)$.

Il est clair que $\widetilde{\mathcal{F}}$ conserve les structures tensorielles. L'objet de ce paragraphe est de montrer que $\widetilde{\mathcal{F}}$ est à valeur dans $\mathcal{R}(q)$ et que $\widetilde{\mathcal{F}} : \mathcal{V}(a) \to \mathcal{R}(q)$ est essentiellement surjectif.

Pour cela, nous évaluons le foncteur $\mathcal{F}$ sur les idempotents de Jones-Wenzl introduits au §2.3. Nous avons besoin des rappels suivants (*cf.* par exemple [K]).

Etant donné un entier k, un vecteur v d'un $U_q(sl_2)$-module est dit *de plus haut poids* k si

$$Kv = q^k\, v \quad \text{et} \quad Xv = 0.$$

Le produit tensoriel des deux modules V_n et V_m $(n, m \in J)$ définis au §1.4 vérifie la formule de Clebsch-Gordan

$$V_n \otimes V_m \cong \bigoplus_{\substack{k=|n-m| \\ k\equiv n+m \bmod 2}}^{n+m} V_k \tag{4.1}$$

si $n + m \in J$. Si $n + m \notin J$ (ce qui n'arrive que si q est une racine primitive $2r^{\text{ème}}$ de l'unité et $n + m > r - 2$), alors

$$V_n \otimes V_m \cong \bigoplus_{\substack{k=|n-m| \\ k\equiv n+m \bmod 2}}^{2r-4-n-m} V_k \oplus Z \tag{4.2}$$

où Z est un module négligeable. Une telle décomposition étant unique à isomorphisme près, nous parlerons des parties semisimple et négligeable de $V_n \otimes V_m$.

En itérant (4.1), on obtient, pour tout entier $n \in J$, une décomposition de la forme

$$V^{\otimes n} \cong V_n \oplus \bigoplus_{k_i<n} V_{k_i}. \tag{4.3}$$

La composante de Cartan V_n dans $V^{\otimes n}$ est engendrée par $v_0^{\otimes n}$ qui est le seul vecteur de plus haut poids n (à un scalaire près).

Pour $n \in J$, on note $p_n \in \mathrm{End}_{\mathcal{R}(q)}(V^{\otimes n})$ l'idempotent déterminé par

$$p_n(w) = \begin{cases} w & \text{si } w \text{ est de plus haut poids } n, \\ 0 & \text{si } w \text{ est de plus haut poids } p < n. \end{cases}$$

En d'autres termes, p_n est la composition d'un isomorphisme réalisant (4.3) et de la projection canonique du membre de droite de (4.3) sur V_n. La proposition suivante établit le lien entre le $n^{\text{ième}}$ idempotent de Jones-Wenzl f_n et l'idempotent p_n.

Proposition 4.1 *Pour tout $n \in J$, on a $\mathcal{F}(f_n) = p_n$ et $\widetilde{\mathcal{F}}(n) \cong V_n$.*

Corollaire 4.2 *Le foncteur $\widetilde{\mathcal{F}}$ est à valeur dans $\mathcal{R}(q)$. Comme foncteur $\mathcal{V}(a) \to \mathcal{R}(q)$, il est essentiellement surjectif.*

Avant de démontrer la proposition 4.1, nous rappelons la forme générale des vecteurs de plus haut poids d'un produit tensoriel $W \otimes W'$ de deux modules. Soient $w \in W$ un vecteur de plus haut poids n, $w' \in W'$ un vecteur de plus haut poids m et p un entier ≥ 0. Posons

$$v(w, w', p) = \sum_{i=0}^{p} (-1)^i \frac{[m-p+i]_q! [n-i]_q!}{[i]_q! [p-i]_q! [m-p]_q! [n]_q!} q^{-i(m-2p+i+1)} (Y^p w) \otimes (Y^{p-i} w'), \tag{4.4}$$

où $[k]! = [k][k-1]\cdots[1]$ si k est un entier ≥ 1 et $[0]! = 1$ par convention. Nous avons alors les résultats qui suivent (*cf.* [K, p.157]).

1. Lorsque q est générique, un vecteur $v(w, w', p)$ est un vecteur de plus haut poids k de $W \otimes W'$ si et seulement si $0 \leq p \leq \inf(n, m)$ et $n + m - 2p = k$.

   Réciproquement, pour tout vecteur $v \in W \otimes W'$ de plus haut poids k, il existe des vecteurs $w \in W$ de plus haut poids n, $w' \in W'$ de plus haut poids m et un entier p vérifiant $0 \leq p \leq \inf(n, m)$ et $n + m - 2p = k$ tels que $v = v(w, w', p)$.

2. Lorsque q est une racine primitive $2r^{\text{ème}}$ de l'unité, supposons, en outre, que W et W' se décomposent en sommes directes d'une partie semisimple et négligeable, i.e.

   $$W \cong P \oplus Z, \quad W' \cong P' \oplus Z',$$

   où Z et Z' sont des modules négligeables et P et P' sont sommes directes de modules V_n, $n \in J$. Si $w \in P$, $w' \in P'$, le vecteur $v(w, w', p)$ est de plus haut poids k et appartient à la partie semisimple de $W \otimes W'$ si et seulement si $0 \leq p \leq \inf(n, m)$, $n + m - 2p = k$ et $k \leq \inf(n + m, 2r - 4 - n - m)$.

   Réciproquement, pour tout vecteur v de la partie semisimple de $W \otimes W'$, il existe $w \in P$ de plus haut poids n, $w' \in P'$ de plus haut poids m et p vérifiant $0 \leq p \leq \inf(n, m)$, $n+m-2p = k$ et $k \leq \inf(n + m, 2r - 4 - n - m)$ tels que $v = v(w, w', p)$.

Démonstration de la proposition 4.1. Rappelons que pour tout $i < n$, on a $e_i f_n = f_n e_i = 0$. Par conséquent,

$$\mathcal{F}(e_i)\mathcal{F}(f_n) = \mathcal{F}(f_n)\mathcal{F}(e_i) = 0.$$

Nous savons également que f_n est un idempotent. Il en est donc de même de $\mathcal{F}(f_n)$. Il suffit donc de montrer que p_n est l'unique idempotent p de $V^{\otimes n}$ tel que $p\mathcal{F}(e_i) = \mathcal{F}(e_i)p = 0$ pour tout $i < n$.

Soit p un idempotent différent de p_n. Il existe donc un vecteur $w \in V^{\otimes n}$ de plus haut poids $k < n$ tel que $p(w) = w'$, où $w' \neq 0$ est un vecteur de plus haut poids k. Pour démontrer la proposition, il suffit donc de prouver que, pour tout vecteur w de plus haut poids $k < n$, il existe un $i < n$ tel que $\mathcal{F}(e_i)(w) \neq 0$. Nous allons établir ce résultat par récurrence sur n.

Si $n = 2$, il suffit de considérer le vecteur $v = v_0 \otimes v_1 - q^{-1} v_1 \otimes v_0$. En effet, une vérification aisée nous montre qu'il est de plus haut poids 0. Or $V \otimes V \cong V_0 \oplus V_2$, donc tout vecteur de poids $p < 2$ est de poids 0, et par conséquent proportionnel à v défini plus haut. D'après le §1.5 et la définition de α (*cf.* proposition 3.6), on a

$$bd(v_0 \otimes v_1) = v_1 \otimes v_0 - q\, v_0 \otimes v_1 \quad \text{et} \quad bd(v_1 \otimes v_0) = v_0 \otimes v_1 - q^{-1} v_1 \otimes v_0.$$

Par conséquent, puisque $\mathcal{F}(e_1) = bd$,

$$\begin{aligned} \mathcal{F}(e_1)(v) &= bd(v) \\ &= v_1 \otimes v_0 - q\, v_0 \otimes v_1 - q^{-1} v_0 \otimes v_1 + q^{-2} v_1 \otimes v_0 \\ &= (1 + q^{-2})\, v_1 \otimes v_0 - (q + q^{-1})\, v_0 \otimes v_1 \neq 0, \end{aligned}$$

car $q \neq \pm 1$.

Soit maintenant $n \geq 3$ un entier de J. Nous supposons par hypothèse de récurrence que pour tout entier $m < n$, pour tout vecteur $w' \in V^{\otimes m}$ de plus haut poids $j < m$, il existe $e_i \in E_m$ tel que $\mathcal{F}(e_i)(w') \neq 0$.

Soit $v \in V^{\otimes n}$ un vecteur de plus haut poids $k < n$. Comme $V^{\otimes n} \cong V^{\otimes(n-1)} \otimes V$ et v_0 est l'unique (à multiplication par un scalaire près) vecteur de plus haut poids de V, la formule (4.4) nous fournit un vecteur $w \in V^{\otimes(n-1)}$ de plus haut poids ℓ tel que $v = v(w, v_0, p)$ pour un certain entier p tel que $\ell + 1 - 2p = k$ et $0 \leq p \leq \inf(\ell, 1)$, car le poids de v_0 est 1. Comme $p = 0$ ou $p = 1$, l'une des deux égalités suivantes est vérifiée :

$$v = w \otimes v_1 - \frac{q^{-1}}{[\ell]_q} (Yw) \otimes v_0 \text{ avec } \ell = k + 1, \quad \text{ou} \quad v = w \otimes v_0 \text{ avec } \ell = k - 1.$$

Traitons le premier cas. Si $w \neq v_0^{\otimes(n-1)}$ (*i.e.* si w est de poids $\ell < n - 1$), l'hypothèse de récurrence implique l'existence de $i < n - 1$ tel que $\mathcal{F}(e_i)(w) \neq 0$ avec $e_i \in E_{n-1}$. Alors

$$(\mathcal{F}(e_i) \otimes \mathrm{id}_V)(v) = (\mathcal{F}(e_i)w) \otimes v_1 - \frac{q^{-1}}{[l]_q} (Y\mathcal{F}(e_i)w) \otimes v_0.$$

Ce vecteur est non nul car $(\mathcal{F}(e_i)w) \otimes v_1 \neq 0$ et est linéairement indépendant de $(Y\mathcal{F}(e_i)w) \otimes v_0$. Or

$$\mathcal{F}(e_i) \otimes \mathrm{id}_V = \mathcal{F}(e_i \otimes \mathrm{id}_1) = \mathcal{F}(e_i) \text{ avec } e_i \in E_n,$$

et le résultat est démontré au cran n.

Si $w = v_0^{\otimes(n-1)}$, alors nous avons $\ell = n-1$ et

$$Y v_0^{\otimes(n-1)} = q^{-n+2} v_0^{\otimes(n-2)} \otimes v_1 + (Y v_0^{\otimes(n-2)}) \otimes v_0$$

et donc

$$v = v_0^{\otimes(n-1)} \otimes v_1 - \frac{q^{-n+1}}{[n-1]_q} v_0^{\otimes(n-2)} \otimes v_1 \otimes v_0 - \frac{q^{-1}}{[n-1]_q} (Y v_0^{\otimes(n-2)}) \otimes v_0 \otimes v_0.$$

On en déduit que

$$\begin{aligned}
\mathcal{F}(e_n)(v) =& (\mathrm{id}_{V^{\otimes(n-2)}} \otimes bd)(v) \\
=& v_0^{\otimes(n-2)} \otimes v_1 \otimes v_0 - q\, v_0^{\otimes(n-2)} \otimes v_0 \otimes v_1 - \frac{q^{-n+1}}{[n-1]_q} v_0^{\otimes(n-2)} \otimes v_0 \; otimes v_1 \\
& + \frac{q^{-n}}{[n-1]_q} v_0^{\otimes(n-2)} \otimes v_1 \otimes v_0 \\
=& \left(1 + \frac{q^{-n}}{[n-1]_q}\right) v_0^{\otimes(n-2)} \otimes v_1 \otimes v_0 - q \left(1 + \frac{q^{-n}}{[n-1]_q}\right) v_0^{\otimes(n-2)} \otimes v_0 \otimes v_1,
\end{aligned}$$

qui est une combinaison linéaire de deux vecteurs linéairement indépendants. Or

$$1 + \frac{q^{-n}}{[n-1]_q} \neq 0 \Longleftrightarrow [n-1]_q \neq -q^{-n} \Longleftrightarrow q^{2n} \neq 1,$$

ce qui est bien notre cas. Nous avons donc montré le résultat au cran n lorsque v est de la première forme.

Si $v = w \otimes v_0$, alors $w \neq v_0^{\otimes(n-1)}$ puisque v n'est pas de plus haut poids n. On peut alors appliquer la méthode du premier cas puisque $\mathcal{F}(e_i)(w) \neq 0$ pour un certain $e_i \in E_{n-1}$. ■

Pour montrer que $\widetilde{\mathcal{F}}$ induit un foncteur $\overline{\mathcal{F}} : \overline{\mathcal{V}}(a) \to \overline{\mathcal{R}}(q)$ sur les catégories purifiées, nous avons besoin du lemme suivant.

Lemme 4.3 *Pour tout couple d'objets (s, s') de $\mathcal{V}(a)$, on a*

$$\widetilde{\mathcal{F}}(c_{s,s'}) = c_{\widetilde{\mathcal{F}}(s),\widetilde{\mathcal{F}}(s')},$$
$$\widetilde{\mathcal{F}}(b_s) = \left(\mathrm{id}_{\widetilde{\mathcal{F}}(s)} \otimes (\alpha^{-1})^{\otimes|s|}\right) b_{\widetilde{\mathcal{F}}(s)} \quad et \quad \widetilde{\mathcal{F}}(d_s) = d_{\widetilde{\mathcal{F}}(s)} \left(\alpha^{\otimes|s|} \otimes \mathrm{id}_{\widetilde{\mathcal{F}}(s)}\right),$$
$$\widetilde{\mathcal{F}}(\theta_s) = \theta_{\widetilde{\mathcal{F}}(s)}.$$

Pour tout morphisme g de $\mathcal{V}(a)$, nous avons

$$\mathrm{tr_q}(\widetilde{\mathcal{F}}(g)) = \widetilde{\mathcal{F}}(\mathrm{tr_q}(g)).$$

Démonstration. Nous laissons le soin au lecteur de vérifier les quatres première relations qui découlent de la proposition 3.7. Nous vérifions la cinquième. Soit s un objet de $\mathcal{V}(a)$, $g \in \mathrm{End}_{\mathcal{S}(a)}(|s|)$ et $\widehat{g}$ l'élément correspondant de $\mathrm{End}_{\mathcal{V}(a)}(s)$. Par définition de la trace quantique, on a

$$\mathrm{tr_q}(\widehat{g}) = d_s c_{s,s} (\theta_s \widehat{g} \otimes \mathrm{id}_s) b_s.$$

Par conséquent,

$$\begin{aligned}
\widetilde{\mathcal{F}}(\mathrm{tr_q}(\widehat{g})) &= \widetilde{\mathcal{F}}(d_s)\widetilde{\mathcal{F}}(c_{s,s})(\widetilde{\mathcal{F}}(\theta_s)\widetilde{\mathcal{F}}(\widehat{g})\otimes\widetilde{\mathcal{F}}(\mathrm{id}_s))\widetilde{\mathcal{F}}(b_s)\\
&= d_{\widetilde{\mathcal{F}}(s)}(\alpha^{\otimes|s|}\otimes\mathrm{id}_{\widetilde{\mathcal{F}}(s)})c_{\widetilde{\mathcal{F}}(s),\widetilde{\mathcal{F}}(s)}(\theta_{\widetilde{\mathcal{F}}(s)}\widetilde{\mathcal{F}}(\widehat{g})\otimes\mathrm{id}_{\widetilde{\mathcal{F}}(s)})(\mathrm{id}_{\widetilde{\mathcal{F}}(s)}\otimes(\alpha^{-1})^{\otimes|s|})b_{\widetilde{\mathcal{F}}(s)}\\
&= d_{\widetilde{\mathcal{F}}(s)}(\alpha^{\otimes|s|}\otimes\mathrm{id}_{\widetilde{\mathcal{F}}(s)})c_{\widetilde{\mathcal{F}}(s),\widetilde{\mathcal{F}}(s)}(\mathrm{id}_{\widetilde{\mathcal{F}}(s)}\otimes(\alpha^{-1})^{\otimes|s|})(\theta_{\widetilde{\mathcal{F}}(s)}\widetilde{\mathcal{F}}(\widehat{g})\otimes\mathrm{id}_{\widetilde{\mathcal{F}}(s)})b_{\widetilde{\mathcal{F}}(s)}\\
&= d_{\widetilde{\mathcal{F}}(s)}(\alpha^{\otimes|s|}\otimes\mathrm{id}_{\widetilde{\mathcal{F}}(s)})((\alpha^{-1})^{\otimes|s|}\otimes\mathrm{id}_{\widetilde{\mathcal{F}}(s)})(\theta_{\widetilde{\mathcal{F}}(s)}\widetilde{\mathcal{F}}(\widehat{g})\otimes\mathrm{id}_{\widetilde{\mathcal{F}}(s)})b_{\widetilde{\mathcal{F}}(s)}\\
&= \mathrm{tr_q}(\widetilde{\mathcal{F}}(\widehat{g})).
\end{aligned}$$

L'avant dernière égalité provient de la naturalité du tressage. ∎

Corollaire 4.4 *Le foncteur $\widetilde{\mathcal{F}}$ induit un foncteur fidèle $\overline{\mathcal{F}}:\overline{\mathcal{V}}(a)\to\overline{\mathcal{R}}(q)$.*

Démonstration. L'existence du foncteur induit est une conséquence immédiate de la dernière égalité du lemme précédent.

Démontrons la fidélité de $\overline{\mathcal{F}}:\overline{\mathcal{V}}(a)\to\overline{\mathcal{R}}(q)$. Soit $h:s\to s'$ un morphisme de $\mathcal{V}(a)$ dont l'image dans $\overline{\mathcal{V}}(a)$ est notée $\overline{h}$. Si $\overline{\mathcal{F}}(\overline{h})=0$ dans $\overline{\mathcal{R}}(q)$, alors $\widetilde{\mathcal{F}}(h)$ est négligeable dans $\mathcal{R}(q)$. En particulier, pour tout morphisme $g:s'\to s$ de $\mathcal{V}(a)$, on a $\mathrm{tr_q}(\widetilde{\mathcal{F}}(h)\widetilde{\mathcal{F}}(g))=0$. Le lemme 4.3 implique que $\widetilde{\mathcal{F}}(\mathrm{tr_q}(hg))=0$. Comme l'application

$$\widetilde{\mathcal{F}}:\mathrm{End}_{\mathcal{V}(a)}(\emptyset)\longrightarrow\mathrm{End}_{\mathcal{R}(q)}(V_0)$$

applique le diagramme vide sur l'identité de V_0, c'est un isomorphisme. On en déduit que $\mathrm{tr_q}(hg)=0$ ce qui prouve que h est négligeable dans $\mathcal{V}(a)$, donc que $\overline{h}=0$. ∎

5. Les morphismes de la catégorie de Turaev

Le but de ce paragraphe est d'exhiber une base simple pour chaque espace de morphismes dans la catégorie $\mathcal{V}(a)$ du §2.4.

Etant donné deux objets $s=(n_1,\dots,n_m)$ et $s'=(n'_1,\dots,n'_{m'})$ de $\mathcal{V}(a)$, on dit qu'un diagramme simple $\mathcal{D}$ est *du bon type* (s,s') s'il est du type $(|s|,|s'|)$ et si

$$\widehat{\mathcal{D}}=f_{s'}\mathcal{D}f_s\neq 0.$$

Lemme 5.1 *Un diagramme simple $\mathcal{D}$ est du bon type (s,s') si et seulement si $\mathcal{D}$ ne se décompose pas d'une des deux façons suivantes :*

$$\begin{aligned}
&\exists k\in\{1,\dots,m\},\ \mathcal{D}=\mathcal{D}'\left(1^{\otimes(n_1+\cdots+n_{k-1})}\otimes e_i\otimes 1^{\otimes(n_{k+1}+\cdots+n_m)}\right)\quad \text{où}\quad e_i\in E_{n_k},\\
&\exists k\in\{1,\dots,m'\},\ \mathcal{D}=\left(1^{\otimes(n'_1+\cdots+n'_{k-1})}\otimes e_i\otimes 1^{\otimes(n'_{k+1}+\cdots+n'_{m'})}\right)\mathcal{D}'\quad \text{où}\quad e_i\in E_{n'_k}.
\end{aligned}$$

De plus, les éléments $\widehat{\mathcal{D}}$, où $\mathcal{D}$ est du bon type (s,s'), forment une base de $\mathrm{Hom}_{\mathcal{V}(a)}(s,s')$.

Démonstration. Si $\mathcal{D}$ se décompose d'une des façons décrites dans le lemme, alors $\widehat{\mathcal{D}} = 0$ puisque $f_n e_i = e_i f_n = 0$ pour tout $i = 1, \dots, n-1$ d'après le §2.3.

Dans le cas contraire, pour tout $k \geq 1$, il existe un polynôme non commutatif P_k à coefficients complexes *sans terme constant* en $e_1, \dots, e_{k-1}$ tel que $f_k = 1_k + P_k$. Nous en déduisons que

$$f_s = 1_{|s|} + \sum_j Q_{1,j} \otimes \cdots \otimes Q_{m,j},$$
$$f_{s'} = 1_{|s'|} + \sum_{j'} Q'_{1,j'} \otimes \cdots \otimes Q'_{m',j'},$$

où, pour tout i, j (resp. i', j'), $Q_{i,j}$ (resp. $Q'_{i',j'}$) est un polynôme non commutatif en $e_1, \dots, e_{n_i - 1}$ (resp. en $e_1, \dots, e_{n'_{i'} - 1}$) tel que, pour tout j (resp. j') fixé, au moins un des polynômes $Q_{i,j}$, $i = 1, \dots, m$ (resp. $Q'_{i',j'}$, $i' = 1, \dots, m'$) n'admette pas de terme constant. Par conséquent,

$$\widehat{\mathcal{D}} = f_{s'} \mathcal{D} f_s = \mathcal{D} + \sum_i \lambda_i \widetilde{\mathcal{D}}_i, \tag{5.1}$$

où $\lambda_i \in \mathbb{C}$ et où chaque $\widetilde{\mathcal{D}_i}$ est un diagramme simple du type $(|s|, |s'|)$ pour lesquels il existe une décomposition d'un des deux types de l'énoncé. Par hypothèse, $\mathcal{D}$ est distinct de tous les $\widetilde{\mathcal{D}_i}$, ce qui prouve que $\widehat{\mathcal{D}} \neq 0$.

Etablissons la deuxième partie du lemme. Soit $\{\mathcal{D}_1, \dots, \mathcal{D}_p\}$ l'ensemble de tous les diagrammes du bon type (s, s'). L'ensemble $\{\widehat{\mathcal{D}}_1, \dots, \widehat{\mathcal{D}}_p\}$ engendre $\mathrm{Hom}_{\mathcal{V}(a)}(s, s') = \{\widehat{\mathcal{D}},\, \mathcal{D} \in \mathrm{Hom}_{\mathcal{S}(a)}(|s|, |s'|)\}$. Montrons que $\widehat{\mathcal{D}}_1, \dots, \widehat{\mathcal{D}}_p$ sont linéairement indépendants. De (5.1) nous tirons que

$$\widehat{\mathcal{D}_i} = \mathcal{D}_i + \sum_j \lambda_{i,j}\, \mathcal{D}_{i,j},$$

où les $\mathcal{D}_{i,j}$ sont des diagrammes simples qui ne sont pas du bon type. Supposons que l'on ait une relation du type $\sum_i a_i \widehat{\mathcal{D}}_i = 0$ avec $a_i \in \mathbb{C}$ pour tout $i = 1, \dots, p$. Cette relation s'écrit encore

$$\sum_i a_i\, \mathcal{D}_i + \sum_{i,j} a_i \lambda_{i,j} \mathcal{D}_{i,j} = 0.$$

Puisque tous les diagrammes $\mathcal{D}_i$ sont du bon type et que les diagrammes $\mathcal{D}_{i,j}$ ne le sont pas, nous avons $\mathcal{D}_i \neq \mathcal{D}_{k,j}$ pour tous les i, j, k. Puisque les diagrammes simples sont linéairements indépendants dans $\mathrm{Hom}_{\mathcal{S}(a)}(|s|, |s'|)$, nous avons

$$\sum_i a_i\, \mathcal{D}_i = 0,$$

ce qui implique $a_i = 0$ pour tout $i = 1, \dots, p$. ∎

Remarque 5.2 Regardons ce que signifie "être du bon type" géométriquement. Pour un diagramme simple $\mathcal{D}$ du type $(|s|, |s'|)$, appelons "bloc n_k" les points d'entrées $n_1 + \cdots + n_{k-1} + 1, \dots, n_1 + \cdots + n_{k-1} + n_k$, pour $k = 1, \dots, m$, et de même pour les sorties "bloc n'_k", pour $k = 1, \dots, n'_{m'}$. Le diagramme $\mathcal{D}$ est alors du bon type (s, s') si et seulement si, pour tout $k = 1, \dots, m$, il n'y a pas d'arc reliant deux entrées d'un même bloc n_k et pour tout $k' = 1, \dots, m'$, il n'existe pas d'arc reliant deux sorties d'un même bloc $n'_{k'}$. Autrement dit, un arc reliant deux entrées ou deux sorties change nécessairement de bloc. En effet, si ce n'était pas le cas, il y aurait par exemple deux entrées

consécutives $(i, i+1)$ d'un même bloc n_k relié par un arc (puisqu'on suppose $\mathcal{D}$ simple). On pourrait alors factoriser $\mathcal{D}' = 1^{(n_1+\cdots+n_{k-1})} \otimes e_i \otimes 1^{(n_{k+1}+\cdots+n_m)}$ car

$\mathcal{D}\mathcal{D}' =$ 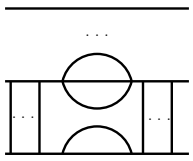 $=$ 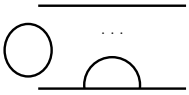 $= -(a^2 + a^{-2})$ 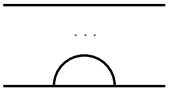 $= -(a^2 + a^{-2})\mathcal{D}$

d'après la relation (2.1). On procèderait de même si deux sorties d'un même bloc étaient reliées. La figure 6 donne un exemple d'un diagramme du bon type (s, s'), où $s = (3, 3, 3, 4)$ et $s' = (2, 2)$.

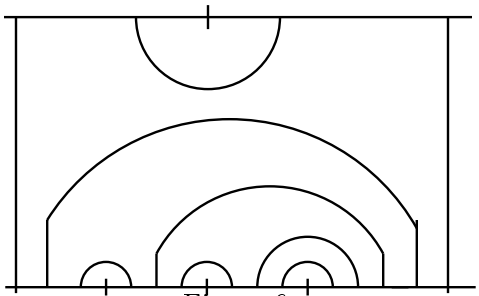

Figure 6.

6. Pleine fidélité : cas générique

Nous fixons un nombre complexe a générique et posons $q = a^2$. Dans ce paragraphe nous allons prouver la pleine fidélité du foncteur $\widetilde{\mathcal{F}} : \mathcal{V}(a) \to \mathcal{R}(q)$ défini précédemment. Il s'agit de montrer le théorème suivant.

Théorème 6.1 *Pour tout couple (s, s') d'objets de $\mathcal{V}(a)$, l'application*

$$\widetilde{\mathcal{F}} : \mathrm{Hom}_{\mathcal{V}(a)}(s, s') \longrightarrow \mathrm{Hom}_{\mathcal{R}(q)}(\widetilde{\mathcal{F}}(s), \widetilde{\mathcal{F}}(s'))$$

est un isomorphisme.

Remarquons que le théorème est vrai lorsque s et s' sont de longueur 0 ou 1. En effet, les considérations du §5 impliquent que, dans ce cas,

$$\mathrm{Hom}_{\mathcal{V}(a)}(s, s') = \begin{cases} \mathbb{C}\,\mathrm{id}_s & \text{si } s = s', \\ 0 & \text{sinon.} \end{cases}$$

D'après le lemme de Schur, il en est de même de $\mathrm{Hom}_{\mathcal{R}(q)}(\widetilde{\mathcal{F}}(s), \widetilde{\mathcal{F}}(s'))$.

Dans un premier temps, nous réglons le cas où s est de longueur 2 et s' de longueur 1. Puis nous passons au cas où s est de longueur quelconque et s' est de longueur 1. Enfin nous terminons par le cas général.

Dans toute la suite de l'article, nous conviendrons que la suite (0) représente la suite vide de $\mathcal{V}(a)$.

6.1. Cas de $\widetilde{\mathcal{F}} : \mathrm{Hom}_{\mathcal{V}(a)}((n,m),(k)) \to \mathrm{Hom}_{\mathcal{R}(q)}(\widetilde{\mathcal{F}}((n,m)),\widetilde{\mathcal{F}}(k))$

On se fixe deux entiers n et $m > 0$ et un entier $k \geq 0$. Si $j \geq 0$ est un entier , on note id_j le morphisme identité de $V^{\otimes j}$. Le but du §6.1 est de démontrer le théorème 6.1 pour $s = (n,m)$ et $s' = (k)$.

Commençons par quelques préliminaires. Soit j un entier vérifiant $0 \leq j \leq \inf(n,m)$. On définit $\mathcal{D}_{n,m,j} \in E_{n+m,n+m-2j}$ comme la classe d'isotopie du diagramme simple de la figure 7 où, par convention, un entier p coloriant un arc signifie p arcs parallèles.

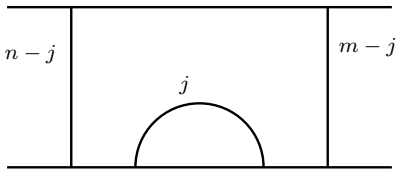

Figure 7.

Lemme 6.2 *Si $0 \leq k < |n-m|$, ou bien $n+m < k$, ou bien $k \not\equiv n+m \bmod 2$, alors*

$$\mathrm{Hom}_{\mathcal{V}(a)}((n,m),(k)) = 0 \quad et \quad \mathrm{Hom}_{\mathcal{R}(q)}(\widetilde{\mathcal{F}}(n,m),\widetilde{\mathcal{F}}(k)) = 0.$$

Sinon,

$$\mathrm{Hom}_{\mathcal{V}(a)}((n,m),(k)) = \mathbb{C}\,\widehat{\mathcal{D}}_{n,m,j},$$

(où j est l'unique entier vérifiant $0 \leq j \leq \inf(n,m)$ et $n+m-2j = k$) et

$$\dim_{\mathbb{C}} \left(\mathrm{Hom}_{\mathcal{R}(q)}(\widetilde{\mathcal{F}}(n,m),\widetilde{\mathcal{F}}(k))\right) = 1.$$

Démonstration. Le calcul de la dimension de $\mathrm{Hom}_{\mathcal{R}(q)}(\widetilde{\mathcal{F}}(n,m),\widetilde{\mathcal{F}}(k))$ provient de la proposition 4.1, de la formule (4.1) et du lemme de Schur.

Pour déterminer $\mathrm{Hom}_{\mathcal{V}(a)}((n,m),(k))$, cherchons les diagrammes du bon type $((n,m),(k))$. D'après la remarque 5.2, il ne peut y avoir aucun arc reliant deux sorties puisqu'on a qu'un seul bloc, et deux entrées ne peuvent être liées que si l'une est dans le bloc n et l'autre dans le bloc m. Puisqu'un diagramme du bon type est simple, il ne nous reste que les diagrammes $\mathcal{D}_{n,m,j}$. Donc si $\mathrm{Hom}_{\mathcal{V}(a)}((n,m),(k)) \neq 0$, il existe un unique entier j vérifiant les conditions de l'énoncé et tel que

$$\mathrm{Hom}_{\mathcal{V}(a)}((n,m),(k)) = \mathbb{C}\,\widehat{\mathcal{D}}_{n,m,j}.$$

■

Rappelons que l'application $d : V \otimes V \to \mathbb{C}$ est définie par (3.3).

D'après le lemme 6.2, pour démontrer le théorème 6.1 dans le cas $s = (n,m)$ et $s' = (k)$, il suffit de considérer les triplets (n,m,k) pour lesquels il existe un entier j vérifiant $0 \leq j \leq \inf(n,m)$ et $n+m-2j = k$ et montrer que $\widetilde{\mathcal{F}}(\mathcal{D}_{n,m,j})$ est non nul dans $\mathrm{Hom}_{\mathcal{R}(q)}(\widetilde{\mathcal{F}}(n,m),\widetilde{\mathcal{F}}(k))$. C'est l'objet de la suite du §6.1.

Lemme 6.3 *Si $n, m \geq 1$, et si $g = \mathrm{id}_{n-1} \otimes d \otimes \mathrm{id}_{m-1} : \widetilde{\mathcal{F}}(n,m) \to \widetilde{\mathcal{F}}(n-1,m-1)$, on a*

$$g\left(Y^i v_0^{\otimes n} \otimes Y^j v_0^{\otimes m}\right) = \begin{cases} [j]_q Y^i v_0^{\otimes(n-1)} \otimes Y^{j-1} v_0^{\otimes(m-1)} & \\ \qquad - [i]_q q^{i-j-n-1} Y^{i-1} v_0^{\otimes(n-1)} \otimes Y^j v_0^{\otimes(m-1)} & \text{si } i \geq 1 \text{ et } j \geq 1, \\ [j]_q \, v_0^{\otimes(n-1)} \otimes Y^{j-1} v_0^{\otimes(m-1)} & \text{si } i = 0 \text{ et } j \geq 1, \\ -[i]_q q^{i-n-1} Y^{i-1} v_0^{\otimes(n-1)} \otimes v_0^{\otimes(m-1)} & \text{si } i \geq 1 \text{ et } j = 0, \\ 0 & \text{si } i = j = 0, \end{cases}$$

où, par convention, $Y^0 v = v$ pour tout vecteur v.

Démonstration. Contentons-nous de démontrer la première égalité. D'après [K, p. 143], on a

$$\Delta(Y^i) = \sum_{s=0}^{i} q^{s(i-s)} \begin{bmatrix} i \\ s \end{bmatrix}_q (Y^s K^{s-i}) \otimes Y^{i-s},$$

où $\begin{bmatrix} i \\ s \end{bmatrix}_q = \dfrac{[i]_q!}{[s]_q![i-s]_q!}$. On en déduit que

$$Y^i v_0^{\otimes n} = \sum_{s=0}^{i} q^{s(i-s)} \begin{bmatrix} i \\ s \end{bmatrix}_q q^{-(i-s)(n-1)} \, Y^s v_0^{\otimes(n-1)} \otimes Y^{i-s} v_0.$$

Or $Y v_0 = v_1$ et $Y^2 v_0 = 0$, ce qui implique que

$$Y^i v_0^{\otimes n} = Y^i v_0^{\otimes(n-1)} \otimes v_0 + [i]_q q^{i-n} \, Y^{i-1} v_0^{\otimes(n-1)} \otimes v_1.$$

On obtient de la même manière

$$Y^j v_0^{\otimes m} = q^{-j} \, v_0 \otimes Y^j v_0^{\otimes(m-1)} + [j]_q \, v_1 \otimes Y^{j-1} v_0^{\otimes(m-1)}.$$

En appliquant (3.3), on obtient la première formule. Les trois autres s'obtiennent de la même manière. ∎

Nous aurons besoin de la formule (4.4) et des notations qui y sont rattachées. Pour tout entier j tel que $0 \leq j \leq \inf(n,m)$, définissons

$$v_{n,m}^{(j)} = v(v_0^{\otimes n}, v_0^{\otimes m}, j) \in \widetilde{\mathcal{F}}(n,m) \tag{6.1}$$

et

$$b_{n,m,j} = q^{-m+j-1} \, \frac{[n+m-j+1]_q}{[n]_q}. \tag{6.2}$$

D'après les rappels subordonnés à (4.4), les vecteurs $v_{n,m}^{(j)}$ sont des vecteurs de plus haut poids $n+m-2j$, et pour tout vecteur v de plus haut poids ℓ de $\widetilde{\mathcal{F}}(n,m)$, il existe un (unique) j, $0 \leq j \leq \inf(n,m)$, tel que v soit proportionnel à $v_{n,m}^{(j)}$.

Lemme 6.4 *Pour $n \geq 1$, $m \geq 1$ et $0 \leq j \leq \inf(n,m)$, on a*

$$g(v_{n,m}^{(j)}) = b_{n,m,j} \, v_{n-1,m-1}^{(j-1)}$$

où, par convention, $v_{n-1,m-1}^{(-1)} = 0$.

Démonstration. Le cas $j = 0$ est immédiat puisqu'alors $v_{n,m}^{(0)} = v_0^{\otimes(n+m)}$ et il suffit d'appliquer le lemme 6.3. Pour le cas $j = 1$, nous avons d'après le même lemme

$$\begin{aligned} g(v_{n,m}^{(1)}) &= g\left(v_0^{\otimes n} \otimes Y v_0^{\otimes m} - \frac{[m]_q}{[n]_q} q^{-m}\, Y v_0^{\otimes n} \otimes v_0^{\otimes m}\right) \\ &= \left(1 + \frac{[m]_q}{[n]_q} q^{-n-m}\right) v_0^{\otimes(n-1)} \otimes v_0^{\otimes(m-1)}. \end{aligned}$$

Or

$$1 + \frac{[m]_q}{[n]_q} q^{-n-m} = q^{-m} \frac{[n]_q q^n + [m]_q q^{-n}}{[n]_q} = q^{-m} \frac{[n+m]_q}{[n]_q} = b_{n,m,1},$$

d'après [K, p. 121]. De plus, nous avons $v_0^{\otimes(n-1)} \otimes v_0^{\otimes(m-1)} = v_{n-1,m-1}^{(0)}$.

Traitons maintenant le cas $j \geq 2$. Posons

$$c_{j,i}^{n,m} = (-1)^i \frac{[m-j+i]_q! [n-i]_q!}{[i]_q! [j-i]_q! [m-j]_q! [n]_q!} q^{-i(m-2j+i+1)}$$

et $v = g(v_{n,m}^{(j)})$. En utilisant le lemme 6.3, on obtient

$$\begin{aligned} v &= c_{j,0}^{n,m} [j]_q\, v_0^{\otimes(n-1)} \otimes Y^{j-i} v_0^{\otimes(m-1)} + \sum_{i=1}^{j-1} c_{j,i}^{n,m} \Big([j-i]_q Y^i v_0^{\otimes(n-1)} \otimes Y^{j-i-1} v_0^{\otimes(m-1)} \\ &\quad - [i]_q q^{i-j+i-n-1} Y^{i-1} v_0^{\otimes(n-1)} \otimes Y^{j-i} v_0^{\otimes(m-1)} \Big) - c_{j,j}^{n,m} [j]_q q^{j-n-1}\, Y^{j-1} v_0^{\otimes(n-1)} \otimes v_0^{\otimes(m-1)} \\ &= c_{j,0}^{n,m} [j]_q\, v_0^{\otimes(n-1)} \otimes Y^{j-1} v_0^{\otimes(m-1)} + \sum_{i=1}^{j-1} c_{j,i}^{n,m} [j-i]_q\, Y^i v_0^{\otimes(n-1)} \otimes Y^{j-1-i} v_0^{\otimes(m-1)} \\ &\quad - \sum_{i=0}^{j-2} c_{j,i+1}^{n,m} [i+1]_q q^{2i-n-j+1}\, Y^i v_0^{\otimes(n-1)} \otimes Y^{j-1-i} v_0^{\otimes(m-1)} \\ &\quad - c_{j,j}^{n,m} [j]_q q^{j-n-1}\, Y^{j-1} v_0^{\otimes(n-1)} \otimes v_0^{\otimes(m-1)} \\ &= (c_{j,0}^{n,m} [j]_q - c_{j,1}^{n,m} q^{-j-n+1})\, v_0^{\otimes(n-1)} \otimes Y^{j-1} v_0^{\otimes(m-1)} \\ &\quad + \sum_{i=1}^{j-2} (c_{j,i}^{n,m} [j-i]_q - c_{j,i+1}^{n,m} [i+1]_q q^{2i-n-j+1})\, Y^i v_0^{\otimes(n-1)} \otimes Y^{j-1-i} v_0^{\otimes(m-1)} \\ &\quad + (c_{j,j-1}^{n,m} - c_{j,j}^{n,m} [j]_q q^{j-n-1})\, Y^{j-1} v_0^{\otimes(n-1)} \otimes v_0^{\otimes(m-1)}. \end{aligned}$$

Comme $v \in \widetilde{\mathcal{F}}(n-1, m-1)$ est de plus haut poids $n+m-2j = (n-1)+(m-1)-2(j-1)$, d'après la remarque précédant le lemme 6.4, on a $v = \gamma\, v_{n-1,m-1}^{(j-1)}$, où γ est un certain nombre complexe.

Il reste à montrer que $\gamma = b_{n,m,j}$. Pour cela, il suffit de vérifier que le coefficient de proportionnalité entre les composantes de v et $v_{n-1,m-1}^{(j-1)}$ devant $v_0^{\otimes(n-1)} \otimes Y^{j-1} v_0^{\otimes(m-1)}$ est $b_{n,m,j}$. On

a

$$\begin{aligned}
c_{j,0}^{n,m}[j]_q - c_{j,1}^{n,m}q^{-j-n+1} &= \frac{[m-j]_q![n]_q![j]_q}{[j]_q![m-j]_q![n]_q!} + \frac{[m-j+1]_q![n-1]_q!}{[j-1]_q![m-j]_q![n]_q!}q^{-m+2j-2-n-j+1} \\
&= \frac{[m-j]_q![n]_q! + [m-j+1]_q![n-1]_q!q^{-m-n+j-1}}{[j-1]_q![m-j]_q![n]_q!} \\
&= \frac{[n]_q + [m-j+1]_q q^{-m-n+j-1}}{[j-1]_q![n]_q} \\
&= \frac{q^{-m+j-1}}{[j-1]_q![n]_q}(q^{m-j+1}[n]_q + [m-j+1]_q q^{-n}) \\
&= b_{n,m,j}c_{j-1,0}^{n-1,m-1},
\end{aligned}$$

ce qui termine la démonstration du lemme. ■

Démonstration du théorème 6.1 lorsque $\mathbf{s} = (n,m)$ et $\mathbf{s'} = (k)$. Au vu du lemme 6.2, il nous reste à traiter le cas

$$|n-m| \leq k \leq n+m \ \text{ et } \ k \equiv n+m \bmod 2,$$

i.e. le cas où il existe un entier j tel que $0 \leq j \leq \inf(n,m)$ et $n+m-2j = k$. D'après la remarque suivant le lemme 6.2, il suffit de voir que $\widetilde{\mathcal{F}}(\mathcal{D}_{n,m,j}) \neq 0$. Comme

$$\mathcal{F}(\mathcal{D}_{n,m,j}) = (\mathrm{id}_{n-j} \otimes d \otimes \mathrm{id}_{m-j}) \cdots (\mathrm{id}_{n-1} \otimes d \otimes \mathrm{id}_{m-1})$$

et $\mathcal{F}(\mathcal{D}_{n,m,0}) = \mathrm{id}_{n+m}$, on obtient, en appliquant le lemme 6.4,

$$\mathcal{F}(\mathcal{D}_{n,m,j})(v_{n,m}^{(j)}) = b_{n,m,j} \cdots b_{n-j+1,m-j+1,1}\, v_{n-j,m-j}^{(0)}.$$

Or,

$$\begin{gathered}
\widetilde{\mathcal{F}}(\widehat{\mathcal{D}}_{n,m,j}) = f_k \mathcal{F}(\mathcal{D}_{n,m,j})(f_n \otimes f_m), \\
(f_n \otimes f_m)(v_{n,m}^{(j)}) = v_{n,m}^{(j)}, \\
f_k(v_0^{\otimes k}) = v_0^{\otimes k}, \\
v_{n-j,m-j}^{(0)} = v_0^{\otimes k},
\end{gathered}$$

car $v_{n,m}^{(j)} \in \widetilde{\mathcal{F}}(n,m)$ et $v_0^{\otimes k} \in \widetilde{\mathcal{F}}(k)$. Comme tous les $b_{n,m,j}$ sont non nuls, $\widetilde{\mathcal{F}}(\mathcal{D}_{n,m,j})(v_{n,m}^{(j)}) \neq 0$. ■

6.2. Cas de $\widetilde{\mathcal{F}} : \mathrm{Hom}_{\mathcal{V}(a)}(s,(k)) \longrightarrow \mathrm{Hom}_{\mathcal{R}(q)}(\widetilde{\mathcal{F}}(s), \widetilde{\mathcal{F}}(k))$

Nous allons maintenant prouver la pleine fidélité dans le cas où s est une suite de longueur quelconque. Fixons un entier $m \geq 3$ et des entiers strictement positifs $n_1, \ldots, n_m$. Nous notons s la suite $(n_1, \ldots, n_m)$ et s' la suite tronquée $(n_1, \ldots, n_{m-1})$. Nous fixons également un entier positif k. Nous avons besoin des définitions suivantes :

1. On appelle *espace de plus haut poids* j d'un module W le sous-espace vectoriel engendré par les vecteurs de W de plus haut poids j.
2. On note $\{b_1, \ldots, b_q\}$ l'ensemble des entiers tels que pour tout $j = 1, \ldots, q$, l'espace de plus haut poids b_j de $\widetilde{\mathcal{F}}(s')$ soit $\neq 0$ et tels qu'il existe un entier ℓ_j vérifiant $0 \leq \ell_j \leq \inf(b_j, n_m)$ et $b_j + n_m - 2\ell_j = k$.

3. Pour $j = 1, \dots, q$, notons p_j la dimension de l'espace de plus haut poids b_j. Nous fixons également une base $(w_1^{(j)}, \dots w_{p_j}^{(j)})$ de cet espace qui vérifie certaines propriétés que nous expliciterons dans la proposition 6.9.

Lemme 6.5 *Supposons qu'il existe un vecteur de plus haut poids k dans $\widetilde{\mathcal{F}}(s)$. Alors l'ensemble $\{b_1, \dots, b_q\}$ est non vide.*

Démonstration. Soit v un vecteur de plus haut poids k dans $\widetilde{\mathcal{F}}(s)$. Nous avons

$$\widetilde{\mathcal{F}}(s) \cong \widetilde{\mathcal{F}}(s') \otimes \widetilde{\mathcal{F}}(n_m).$$

D'après la formule (4.4), il existe un vecteur w de plus haut poids b et un entier ℓ tel que $v = v(w, v_0^{\otimes n_m}, \ell)$, avec $0 \leq \ell \leq \inf(b, n_m)$ et $b + n_m - 2\ell = k$. ∎

Lemme 6.6 *Supposons qu'il existe un vecteur de plus haut poids k dans $\widetilde{\mathcal{F}}(s)$. Alors la famille $(v_p^{(j)})_{1 \leq p \leq p_j, 1 \leq j \leq q}$ forme une base de l'espace de plus haut poids k de $\widetilde{\mathcal{F}}(s)$, où on a posé $v_p^{(j)} = v(w_p^{(j)}, v_0^{\otimes n_m}, \ell_j)$ pour $j = 1, \dots, q$ et $p = 1, \dots, p_j$.*

Démonstration. Remarquons tout d'abord que ces vecteurs sont bien dans $\widetilde{\mathcal{F}}(s) = \widetilde{\mathcal{F}}(s') \otimes \widetilde{\mathcal{F}}(n_m)$ puisque $w_p^{(j)} \in \widetilde{\mathcal{F}}(s')$ et $v_0^{\otimes n_m} \in \widetilde{\mathcal{F}}(n_m)$. Avec les notations rattachées à la formule (4.4), posons $W = \widetilde{\mathcal{F}}(s')$ et $W' = \widetilde{\mathcal{F}}(n_m)$. Puisque $0 \leq j \leq \inf(b_j, n_m)$ et $k = b_j + n_m - 2\ell_j$, les vecteurs $v_p^{(j)}$ sont des vecteurs de plus haut poids k de $\widetilde{\mathcal{F}}(s)$. Ils sont linéairement indépendants car les vecteurs $(Y^i w_p^{(j)})$ (où $i = 1, \dots, \ell_j$, $p = 1, \dots, p_j$ et $j = 1, \dots, q$) le sont par construction.

Soit alors $v \in \widetilde{\mathcal{F}}(s)$ un vecteur de plus haut poids k. Puisque $W' \cong V_{n_m}$, tous ses vecteurs de plus haut poids sont proportionnels à $v_0^{\otimes n_m}$ et de poids n_m, et donc, d'après la formule (4.4), il existe $w \in W$ de plus haut poids b tel que $v = v(w, v_0^{\otimes n_m}, \ell)$ et tel que $0 \leq \ell \leq \inf(b, n_m)$ et $k = b + n_m + \ell$. Donc $b = b_j$ et $\ell = \ell_j$ pour un certain j, donc $w = \sum_{p=1}^{p_j} \lambda_p w_p^{(j)}$, $\lambda_p \in \mathbb{C}$, et $v = \sum_{p=1}^{p_j} \lambda_p v_p^{(j)}$, ce qui prouve que les $v_p^{(j)}$ forment une base de l'espace de plus haut poids k de $\widetilde{\mathcal{F}}(s)$. ∎

Pour tout $j = 1, \dots, q$, on note $\{\mathcal{D}_{j,p}\}_{p=1,\dots,p'_j}$ l'ensemble des diagrammes du bon type $(s', (b_j))$. On pose

$$\overline{\mathcal{D}_{j,p}} = \mathcal{D}_{b_j, n_m, l_j}(\mathcal{D}_{j,p} \otimes 1_{n_m}), \tag{6.3}$$

$j = 1, \dots q$, $p = 1, \dots, p'_j$, où $\mathcal{D}_{b_j, n_m, l_j}$ est défini par (7).

Lemme 6.7 *Soit $k \geq 0$. Alors les diagrammes $\overline{\mathcal{D}_{j,p}}$, $j = 1, \dots q$, $p = 1, \dots, p'_j$ sont distincts et du bon type $(s, (k))$. De plus, tout diagramme du bon type $(s, (k))$ est égal à un des $\overline{\mathcal{D}_{j,p}}$.*

Démonstration. Soit $\mathcal{D}$ un diagramme du bon type $(s, (k))$. Nous allons le transformer de la manière suivante : on remonte tous les brins s'attachant au bloc n_m des entrées (et uniquement ceux-ci), puis on divise $\mathcal{D}$ en deux diagrammes $\mathcal{D} = \mathcal{D}_1 \circ \mathcal{D}_2$, qui sont uniquement déterminés par $\mathcal{D}$. La figure 8 donne l'idée de la construction. Celle-ci implique tout d'abord que $\mathcal{D}_2 = \mathcal{D}' \otimes 1_{n_m}$. Le diagramme $\mathcal{D}'$ est du bon type $(s', (b))$ où $b \geq 0$ est un entier non encore déterminé. En effet, les entrées de $\mathcal{D}'$ sont celles de $\mathcal{D}$. En ce qui concerne les sorties, il faut montrer qu'il n'y a pas d'arc les reliant. Or les brins s'attachant aux sorties de $\mathcal{D}'$ proviennent soit d'un brin reliant une entrée

et une sortie de $\mathcal{D}$, soit d'un arc reliant une entrée de $\mathcal{D}$ à une entrée du bloc n_m, arc que l'on a remonté par la construction précédente. Dans les deux cas, ces brins ne peuvent relier deux sorties de $\mathcal{D}'$. De la même manière, on montre que $\mathcal{D}_1$ est du bon type $((b, n_m), (k))$. D'après le lemme 6.2, on sait alors que $\mathcal{D}_1 = \mathcal{D}_{b,n_m,\ell}$ où ℓ est un entier vérifiant $b + n_m - 2\ell = k$ et $0 \leq \ell \leq \inf(b, n_m)$. Par définition des b_j, il existe j tel que $b = b_j$ et $\ell = \ell_j$.

Il reste à prouver que $\overline{\mathcal{D}_{j,p}}$ et $\overline{\mathcal{D}_{j',p'}}$ sont distincts dès que $j \neq j'$ ou $p \neq p'$. Notons t (resp. t') le nombre de brins du bloc d'entrées n_m de $\overline{\mathcal{D}_{j,p}}$ (resp. $\overline{\mathcal{D}_{j',p'}}$) reliant des sorties. Alors $t = n_m - j$ et $t' = n_m - j'$, donc si $j \neq j'$, $\overline{\mathcal{D}_{j,p}} \neq \overline{\mathcal{D}_{j',p'}}$. Si $j = j'$, alors $p \neq p'$ et donc $\mathcal{D}_{j,p} \neq \mathcal{D}_{j,p'}$, ce qui prouve le lemme. ■

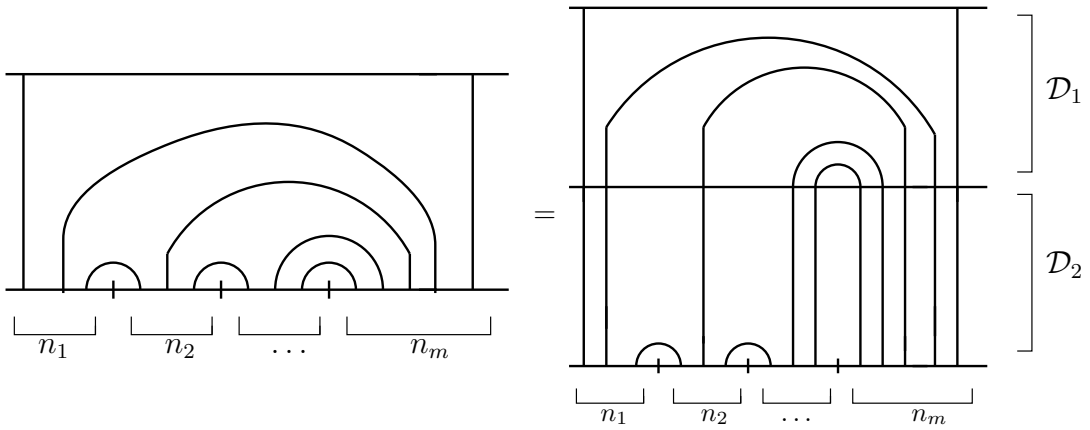

Figure 8.

Lemme 6.8 *Pour tout entier $k \geq 0$, le nombre de diagramme du bon type $(s, (k))$ est égal à la dimension de l'espace de plus haut poids k de $\widetilde{\mathcal{F}}(s)$.*

Démonstration. Nous allons démontrer ce lemme par récurrence sur la longueur m de s. Le cas $m = 2$ est l'objet du lemme 6.2. Supposons alors que pour tout $\widetilde{m} < m$, tout entier $\widetilde{k} \geq 0$ et tout objet $\widetilde{s}$ de longueur $\widetilde{m}$, le nombre de diagramme du bon type $(\widetilde{s}, (\widetilde{k}))$ est égal à la dimension de l'espace de plus haut poids $\widetilde{k}$ de $\widetilde{\mathcal{F}}(\widetilde{s})$.

Montrons d'abord que l'existence d'un diagramme $\mathcal{D}$ du bon type $(s, (k))$ implique l'existence d'un vecteur de plus haut poids k dans $\widetilde{\mathcal{F}}(s)$. Nous savons d'après le lemme 6.7 que $\mathcal{D} = \overline{\mathcal{D}_{j,p}}$ pour un unique couple (j, p), et donc il existe un diagramme $\mathcal{D}_{j,p}$ du bon type $(s', (b_j))$. Puisque s' est de longueur $m - 1$, nous savons qu'il existe un vecteur $w \in \widetilde{\mathcal{F}}(s')$ de plus haut poids b_j par hypothèse de récurrence. Alors le vecteur $v(w, v_0^{\otimes n_m}, \ell_j)$ est de plus haut poids $b_j + n_m - 2\ell_j = k$ d'après (4.4).

Réciproquement, si $\widetilde{\mathcal{F}}(s)$ admet un vecteur de plus haut poids k, il vaut $v(w, v_0^{\otimes n_m}, \ell)$ où $w \in \widetilde{\mathcal{F}}(s')$ est un vecteur de plus haut poids b et ℓ un entier tel que $b + n_m - 2\ell = k$. Par hypothèse de récurrence, nous savons donc qu'il existe un diagramme $\mathcal{D}'$ du bon type $(s', (b))$. Puisque le diagramme $\mathcal{D}_{b,n_m,\ell}$ est bien défini (car $b + n_m - 2\ell = k$), le diagramme $\mathcal{D}_{b,n_m,\ell}(\mathcal{D}' \otimes 1_{n_m})$ également et est du bon type $(s, (k))$.

Nous venons de montrer qu'il n'y a pas de diagramme du bon type $(s, (k))$ si et seulement si la dimension de l'espace de plus haut poids k de $\widetilde{\mathcal{F}}(s)$ est nulle. Supposons maintenant cette dimension

> 0. Reprenons les notations que nous avons utilisées pour définir les diagrammes $\overline{\mathcal{D}_{j,p}}$. D'après le lemme 6.7 le nombre de diagrammes du bon type $(s,(k))$ est $p'_1+\cdots+p'_q$. D'après le lemme 6.6, la dimension de l'espace de plus haut poids k de $\widetilde{\mathcal{F}}(s)$ est $p_1+\cdots+p_q$. Or, par hypothèse de récurrence, nous avons $p'_j = p_j$, $1 \leq j \leq q$ puisque p_j est la dimension de l'espace de plus haut poids b_j de $\widetilde{\mathcal{F}}(s')$, ce qui prouve le lemme. ■

La proposition suivante est centrale pour la démonstration de la pleine fidélité.

Proposition 6.9 *Soit k un entier tel qu'il existe un vecteur de plus haut poids k dans $\widetilde{\mathcal{F}}(s)$. Alors on peut renuméroter la famille de vecteurs $\{v_p^{(j)}\}_{1\leq j\leq q, 1\leq p\leq p_j}$ définie dans le lemme 6.6 (resp. la famille de diagrammes $\{\overline{\mathcal{D}_{j,p}}\}_{1\leq j\leq q,1\leq p\leq p_j}$) par $v_1,\ldots,v_g$, (resp. $\mathcal{D}_1,\ldots,\mathcal{D}_g$), où $g=\sum_{j=1}^q p_j$, tel qu'il existe des nombres complexes $\alpha_1,\ldots,\alpha_g$, tous non nuls tels que*

$$\mathcal{F}(\mathcal{D}_1)(v_1) = \alpha_1\, v_0^{\otimes k}, \tag{6.4}$$

$$\mathcal{F}(\mathcal{D}_p)(v_{p'}) = 0 \quad si\ 1 \leq p' < p \leq g, \tag{6.5}$$

$$\mathcal{F}(\mathcal{D}_p)(v_p) = \alpha_p\, v_0^{\otimes k} \quad si\ p \leq g, \tag{6.6}$$

où $v_0^{\otimes k} \in V^{\otimes k}$.

Démonstration. Nous raisonnons par récurrence sur la longueur m de s. Le cas $m=2$ est l'objet du §6.1 où nous avons montré que $q=1$, $p_1=1$, $g=1$ et que

$$\mathcal{F}(D_{n,m,j})(v_{n,m}^{(j)}) = b_{n,m,j}\cdots b_{n-j+1,m-j+1,1} v_0^k.$$

Supposons $m \geq 3$. Nous choisissons les vecteurs $w_p^{(j)}$ (où $1\leq p\leq p_j$ et $1\leq j\leq q$) tels que, pour tout $j=1,\ldots,q$, il existe, par hypothèse de récurrence, des nombres complexes $\alpha_{j,p}$ tous non nuls $(1\leq p\leq p_j)$ tels que

$$\mathcal{F}(\mathcal{D}_{j,1})(w_1^{(j)}) = \alpha_{j,1}\, v_0^{\otimes b_j}, \tag{6.7}$$

$$\mathcal{F}(\mathcal{D}_{j,p})(w_{p'}^{(j)}) = 0 \quad \text{si } 1\leq p'<p\leq p_j, \tag{6.8}$$

$$\mathcal{F}(\mathcal{D}_{j,p})(w_p^{(j)}) = \alpha_{j,p}\, v_0^{\otimes b_j}, \quad \text{si } p\leq p_j. \tag{6.9}$$

Fixons alors un j et soient p et p' des entiers tel que $1\leq p,p'\leq p_j$. On a

$$\begin{aligned}\mathcal{F}(\overline{\mathcal{D}_{j,p}})(v_{p'}^{(j)}) &= \mathcal{F}(\mathcal{D}_{b_j,n_m,\ell_j})\mathcal{F}(\mathcal{D}_{j,p}\otimes 1_{n_m})(v_{p'}^{(j)}) \\ &= \mathcal{F}(\mathcal{D}_{b_j,n_m,\ell_j})\left(\sum_{i=0}^{\ell_j} c_{\ell_j,i}^{b_j,n_m}\,(Y^i\mathcal{F}(\mathcal{D}_{j,p})(w_{p'}^{(j)}))\otimes(Y^{\ell_j-i}v_0^{\otimes n_m})\right)\end{aligned}$$

où la deuxième égalité provient de la formule (4.4) et de la définition du vecteur $v_{p'}^{(j)}$ (*cf.* lemme 6.6). Si $p'<p$, (6.8) implique que $\mathcal{F}(\overline{\mathcal{D}_{j,p}})(v_{p'}^{(j)})=0$. Si $p=p'$, on a d'après (6.9)

$$\mathcal{F}(\overline{\mathcal{D}_{j,p}})(v_{p'}^{(j)}) = \mathcal{F}(\mathcal{D}_{b_j,n_m,\ell_j})\left(\alpha_{j,p}\sum_{i=0}^{\ell_j} c_{\ell_j,i}^{b_j,n_m}\,(Y^i v_0^{b_j})\otimes(Y^{\ell_j-i}v_0^{\otimes n_m})\right).$$

Or,

$$\sum_{i=0}^{\ell_j} c_{\ell_j,i}^{b_j,n_m}\,(Y^i v_0^{\otimes b_j})\otimes(Y^{\ell_j-i}v_0^{\otimes n_m}) = v(v_0^{\otimes b_j}, v_0^{\otimes n_m}, \ell_j)$$

d'après (4.4). Puisque $b_j + n_m - 2\ell_j = k$ et $0 \leq \ell_j \leq \inf(b_j, n_m)$, ce vecteur est un vecteur de plus haut poids k de $\widetilde{\mathcal{F}}(b_j, n_m)$. Donc, d'après le §6.1 et le lemme 6.2, il existe $\gamma_j \neq 0$ tel que

$$\mathcal{F}(\mathcal{D}_{b_j,n_m,\ell_j})(v(v_0^{\otimes b_j}, v_0^{\otimes n_m}, \ell_j)) = \gamma_j v_0^{\otimes k}.$$

On en déduit que

$$\mathcal{F}(\overline{\mathcal{D}_{j,p}})(v_{p'}^{(j)}) = \begin{cases} 0 & \text{si } p' < p, \\ \alpha_{j,p}\gamma_j\, v_0^{\otimes k} & \text{si } p' = p. \end{cases}$$

De plus, on peut toujours supposer $b_1 > \cdots > b_q$. Par conséquent,

$$\mathcal{F}(\mathcal{D}_{j,p})(w_{p'}^{(j')}) = 0,$$

pour tous $j' < j$, $1 \leq p \leq p_j$ et $1 \leq p' \leq p_{j'}$. En effet, rappelons tout d'abord que $w_{p'}^{(j')} \in \widetilde{\mathcal{F}}(s')$ $(1 \leq j' \leq q,\ 1 \leq p' \leq p_{j'})$ et que $\mathcal{D}_{j,p} \in E_{|s'|,b_j}$ $(1 \leq j \leq q,\ 1 \leq p \leq p_j)$, donc $\mathcal{F}(\mathcal{D}_{j,p})(w_{p'}^{(j')})$ a bien un sens. Ensuite, remarquons que $w_{p'}^{(j')}$ est de plus haut poids $b_{j'} > b_j$. Donc $\mathcal{F}(\mathcal{D}_{j,p})(w_{p'}^{(j')}) \in V^{\otimes b_j}$ l'est également. Mais rappelons (*cf.* (4.3)) que tous les vecteurs de plus haut poids de $V^{\otimes b_j}$ ont un poids inférieur à b_j, ce qui prouve que $\mathcal{F}(\mathcal{D}_{j,p})(w_{p'}^{(j')}) = 0$.

En renumérotant alors les vecteurs $\{v_p^{(j)}\}_{\substack{p=1,\dots p_j \\ j=1,\dots,q}}$ et les diagrammes $\{\overline{\mathcal{D}_{j,p}}\}_{\substack{p=1,\dots p_j \\ j=1,\dots,q}}$ en suivant l'ordre

$$v_1^{(1)},\ v_2^{(1)}, \dots, v_{p_1}^{(1)},\ v_1^{(2)}, \dots, v_{p_2}^{(2)}, \dots, \dots, v_p^{(j)},\ v_{p+1}^{(j)}, \dots, v_1^{(q)}, \dots, v_{p_q}^{(q)},$$

(et l'ordre correspondant pour les diagrammes), nous obtenons deux familles satisfaisant aux conditions de l'énoncé. ∎

Démonstration du théorème 6.1 lorsque $\mathbf{s' = (k)}$. Rappelons que tout morphisme de $\mathrm{Hom}_{\mathcal{R}(q)}(\widetilde{\mathcal{F}}(s), \widetilde{\mathcal{F}}(k))$ est uniquement déterminé par ses valeurs sur les vecteurs de plus haut poids de $\widetilde{\mathcal{F}}(s)$, et qu'il envoie tout vecteur de plus haut poids $k' \neq k$ sur 0. Par conséquent, si $\widetilde{\mathcal{F}}(s)$ ne contient pas de vecteur de plus haut poids k, le résultat découle du lemme 6.8.

Dans le cas contraire, reprenons les notations de la proposition 6.9. Pour tout $i = 1, \dots, g$, définissons $h_i \in \mathrm{Hom}_{\mathcal{R}(q)}(\widetilde{\mathcal{F}}(s), \widetilde{\mathcal{F}}(k))$ par les conditions : $h_i(v_j) = \delta_{ij} v_0^{\otimes k}$ $(1 \leq j \leq g)$ et h_i annule tout vecteur de plus haut poids $k' \neq k$. Puisque les vecteurs v_j $(1 \leq j \leq g)$ forment une base de l'espace de plus haut poids k de $\widetilde{\mathcal{F}}(s)$, la famille $\{h_i\}_{1 \leq i \leq g}$ est bien définie et forme une base de $\mathrm{Hom}_{\mathcal{R}(q)}(\widetilde{\mathcal{F}}(s), \widetilde{\mathcal{F}}(k))$. D'après la proposition 6.9, on a

$$\widetilde{\mathcal{F}}(\widehat{\mathcal{D}}_p) = \alpha_p\, h_p + \sum_{i=p}^{g} \beta_{p,i} h_i,\ 1 \leq p \leq g, \tag{6.10}$$

où les $\beta_{p,i}$ sont des nombres complexes. En effet,

$$\widetilde{\mathcal{F}}(\widehat{\mathcal{D}}_p)(v_{p'}) = \mathcal{F}(f_k)\mathcal{F}(\mathcal{D}_p)\mathcal{F}(f_s)(v_{p'}).$$

Or $v_{p'} \in \widetilde{\mathcal{F}}(s)$, donc $\mathcal{F}(f_s)(v_{p'}) = v_{p'}$. Puisque $\mathcal{F}(f_k)(v_0^{\otimes k}) = v_0^{\otimes k}$, nous avons

$$\widetilde{\mathcal{F}}(\mathcal{D}_1)(v_1) = \alpha_1\, v_0^{\otimes k}, \tag{6.11}$$

$$\widetilde{\mathcal{F}}(\mathcal{D}_p)(v_{p'}) = 0 \ \text{ si } \ 1 \leq p' < p, \ \ \widetilde{\mathcal{F}}(\mathcal{D}_p)(v_p) = \alpha_p\, v_0^{\otimes k}, \ \ p \leq g, \tag{6.12}$$

ce qui prouve (6.10). Comme les scalaires α_p sont tous non nuls, $\widetilde{\mathcal{F}}$ est un isomorphisme. ∎

6.3. Démonstration du théorème 6.1

D'après [K, XIV.2.2.], pour tout triplet d'objets (U, V, W) d'une catégorie rubanée, l'application $\sharp : \mathrm{Hom}(U \otimes V, W) \longrightarrow \mathrm{Hom}(U, W \otimes V^*)$ donnée par

$$f^\sharp = (f \otimes \mathrm{id}_V)(\mathrm{id}_U \otimes b_V),$$

et l'application $\flat : \mathrm{Hom}(U, W \otimes V^*) \longrightarrow \mathrm{Hom}(U \otimes V, W^*)$ donnée par

$$g^\flat = (\mathrm{id}_W \otimes b_V)(g \otimes \mathrm{id}_V),$$

sont des bijections inverses l'une de l'autre. Dans le cas des catégories $\mathcal{V}(a)$ et $\mathcal{R}(q)$, ce sont en outre des isomorphismes d'espaces vectoriels. Soit alors s et s' deux objets quelconques de $\mathcal{V}(a)$. On suppose que s' est de longueur > 1. Soit $k > 0$ l'entier et s'' la suite tels que $s' = s'' \otimes (k)$. Nous allons démontrer le théorème 6.1 par récurrence sur la longueur de la suite s'. Le cas où s' est de longueur 1 a été démontré au §6.2. D'après l'hypothèse de récurrence, l'application

$$\widetilde{\mathcal{F}} : \mathrm{Hom}_{\mathcal{V}(a)}(s \otimes (k), s'') \longrightarrow \mathrm{Hom}_{\mathcal{R}(q)}\left(\widetilde{\mathcal{F}}(s \otimes k), \widetilde{\mathcal{F}}(s'')\right)$$

est un isomorphisme. Par conséquent, l'application qui à $\widehat{\mathcal{D}} \in \mathrm{Hom}_{\mathcal{V}(a)}(s, s')$ associe

$$\left(\widetilde{\mathcal{F}}((\widehat{\mathcal{D}})^\flat)\right)^\sharp \in \mathrm{Hom}_{\mathcal{R}(q)}\left(\widetilde{\mathcal{F}}(s), \widetilde{\mathcal{F}}(\widetilde{s}) \otimes \widetilde{\mathcal{F}}(k)^*\right)$$

est un isomorphisme. Or

$$\begin{aligned}\widetilde{\mathcal{F}}((\widehat{\mathcal{D}})^\flat) &= \left(\mathrm{id}_{\widetilde{\mathcal{F}}(\widetilde{s})} \otimes \widetilde{\mathcal{F}}(\widehat{d}_k)\right)\left(\widetilde{\mathcal{F}}(\widehat{\mathcal{D}}) \otimes \mathrm{id}_{\widetilde{\mathcal{F}}(k)}\right) \\ &= \left(\mathrm{id}_{\widetilde{\mathcal{F}}(\widetilde{s})} \otimes (d_{\widetilde{\mathcal{F}}(k)}(\alpha^{\otimes k} \otimes \mathrm{id}_{\widetilde{\mathcal{F}}(k)}))\right)\left((\widetilde{\mathcal{F}}(\widehat{\mathcal{D}}) \otimes \mathrm{id}_{\widetilde{\mathcal{F}}(k)})\right),\end{aligned}$$

où la deuxième égalité provient du lemme 4.3. En utilisant la représentation graphique des morphismes dans une catégorie rubanée (donnée, par exemple, dans [K, chap. XIV] ou [Tu2, chap. I]), nous obtenons

$\widetilde{\mathcal{F}}((\widehat{\mathcal{D}})^\flat) =$

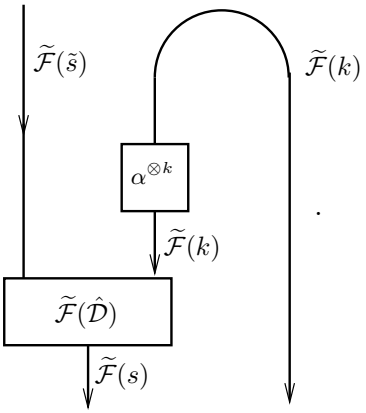

.

Or, si $g \in \mathrm{Hom}_{\mathcal{R}(q)}\left(\widetilde{\mathcal{F}}(s\otimes k), \widetilde{\mathcal{F}}(\widetilde{s})\right)$, alors

$$g^\sharp \in \mathrm{Hom}_{\mathcal{R}(q)}\left(\widetilde{\mathcal{F}}(s), \widetilde{\mathcal{F}}(\widetilde{s})\otimes \widetilde{\mathcal{F}}(k)^*\right)$$

et

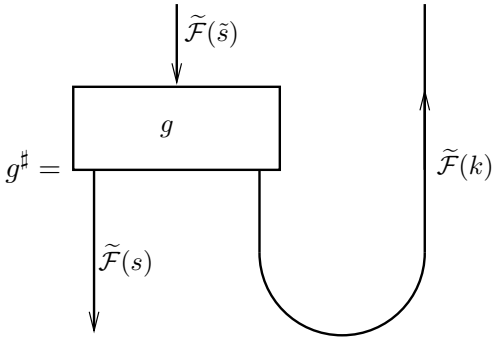

On en déduit que

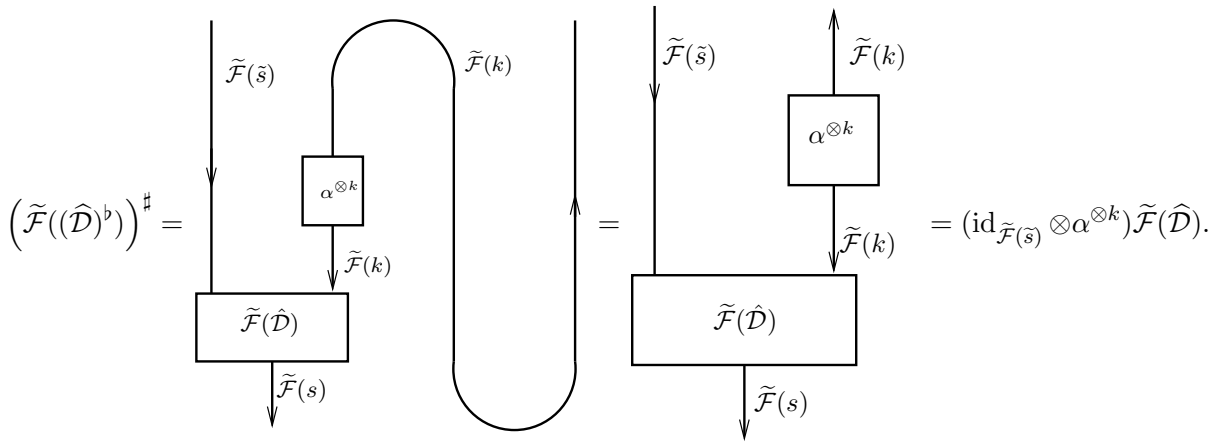

$= (\mathrm{id}_{\widetilde{\mathcal{F}}(\widetilde{s})}\otimes\alpha^{\otimes k})\widetilde{\mathcal{F}}(\widehat{\mathcal{D}}).$

Or $(\mathrm{id}_{\widetilde{\mathcal{F}}(\widetilde{s})}\otimes(\alpha^{-1})^{\otimes k}) : \mathrm{Hom}_{\mathcal{R}(q)}\left(\widetilde{\mathcal{F}}(s), \widetilde{\mathcal{F}}(\widetilde{s})\otimes\widetilde{\mathcal{F}}(k)^*\right) \to \mathrm{Hom}_{\mathcal{R}(q)}\left(\widetilde{\mathcal{F}}(s), \widetilde{\mathcal{F}}(s')\right)$ est un isomorphisme, donc l'application

$$\mathrm{Hom}_{\mathcal{V}(a)}(s,s') \longrightarrow \mathrm{Hom}_{\mathcal{R}(q)}\left(\widetilde{\mathcal{F}}(s), \widetilde{\mathcal{F}}(s')\right)$$

qui envoie $\widehat{\mathcal{D}}$ sur $\widetilde{\mathcal{F}}(\widehat{\mathcal{D}}) = (\mathrm{id}_{\widetilde{\mathcal{F}}(\widetilde{s})}\otimes(\alpha^{-1})^{\otimes k})\left(\widetilde{\mathcal{F}}((\widehat{\mathcal{D}})^\flat)\right)^\sharp$ est un isomorphisme. ■

7. Pleine fidélité : cas d'une racine de l'unité

Nous fixons un nombre complexe a qui une racine primitive $4r^{\text{ème}}$ de l'unité où $r \geq 3$. Posons $q = a^2$. Rappelons que l'ensemble $J = J(a)$ est l'ensemble $\{1, \ldots, r-2\}$. Nous allons démontrer que le foncteur $\overline{\mathcal{F}} : \overline{\mathcal{V}}(a) \to \overline{\mathcal{R}}(q)$ est pleinement fidèle. D'après le corollaire 4.4, il ne nous reste qu'à démontrer la surjectivité de l'application

$$\overline{\mathcal{F}} : \mathrm{Hom}_{\overline{\mathcal{V}}(a)}(s,s') \longrightarrow \mathrm{Hom}_{\overline{\mathcal{R}}(q)}(\overline{\mathcal{F}}(s), \overline{\mathcal{F}}(s')) \tag{7.1}$$

pour toute paire (s,s') d'objets de $\overline{\mathcal{V}}(a)$. C'est l'objet du §7. Ceci achèvera la démonstration du théorème 2.1.

7.1. Réductions

Nous commençons par réduire la démonstration de la surjectivité des applications (7.1) à un cas particulier.

Première réduction. Il suffit de démontrer que pour tout objet s de $\overline{\mathcal{V}}(a)$ et tout entier $k \geq 0$, le foncteur $\overline{\mathcal{F}} : \mathrm{Hom}_{\overline{\mathcal{V}}(a)}(s,(k)) \to \mathrm{Hom}_{\overline{\mathcal{R}}(q)}(\widetilde{\mathcal{F}}(s), \widetilde{\mathcal{F}}(k))$ réalise un isomorphisme d'espaces vectoriels. En effet, la démonstration donnée au §6.3 s'étend mot pour mot au cas d'une racine de l'unité.

Pour énoncer la seconde réduction, nous avons besoin du lemme suivant pour lequel nous utilisons les notations du §1.3

Lemme 7.1 *Soit P, Z et W des $U_q(sl_2)$-modules de dimension finie. Si Z est négligeable, alors*

$$\hom_{\mathcal{R}(q)}(P \oplus Z, W) \cong \hom_{\mathcal{R}(q)}(P, W).$$

Démonstration. Montrons tout d'abord que

$$\mathrm{Negl}_{\mathcal{R}(q)}(P \oplus Z, W) \cong \mathrm{Negl}_{\mathcal{R}(q)}(P, W) \oplus \mathrm{Negl}_{\mathcal{R}(q)}(Z, W).$$

En effet, comme $\mathrm{Hom}_{\mathcal{R}(q)}(P \oplus Z, W) \cong \mathrm{Hom}_{\mathcal{R}(q)}(P, W) \oplus \mathrm{Hom}_{\mathcal{R}(q)}(Z, W)$, tout morphisme f de $\mathrm{Hom}_{\mathcal{R}(q)}(P \oplus Z, W)$ se décompose en une somme

$f = f_P + f_Z$ où $f_P \in \mathrm{Hom}_{\mathcal{R}(q)}(P, W)$ et $f_Z \in \mathrm{Hom}_{\mathcal{R}(q)}(Z, W)$. Le morphisme f_Z est négligeable puisque le module Z l'est. Alors, si f est négligeable, f_P l'est également et notre formule est démontrée. Comme $\mathrm{Negl}_{\mathcal{R}(q)}(Z, W) = \mathrm{Hom}_{\mathcal{R}(q)}(Z, W)$, on a

$$\hom_{\mathcal{R}(q)}(P \oplus Z, W) \cong \frac{\mathrm{Hom}_{\mathcal{R}(q)}(P, W)}{\mathrm{Negl}_{\mathcal{R}(q)}(P, W)} \oplus \frac{\mathrm{Hom}_{\mathcal{R}(q)}(Z, W)}{\mathrm{Negl}_{\mathcal{R}(q)}(Z, W)} \cong \frac{\mathrm{Hom}_{\mathcal{R}(q)}(P, W)}{\mathrm{Negl}_{\mathcal{R}(q)}(P, W)}.$$

■

Deuxième réduction. Conservons les notations de la première réduction. Nous affirmons qu'il suffit de considérer les cas où la partie semisimple de $\widetilde{\mathcal{F}}(s)$ contient un vecteur de plus haut poids k. En effet, le lemme précédent affirme que, dans le cas contraire, $\mathrm{Hom}_{\overline{\mathcal{R}}(q)}(\widetilde{\mathcal{F}}(s), \widetilde{\mathcal{F}}(k)) = 0$ donc également $\mathrm{Hom}_{\overline{\mathcal{V}}(a)}(s,(k))$ d'après le corollaire 4.4.

Nous sommes donc réduit à montrer la surjectivité de l'application

$$\widetilde{\mathcal{F}} : \mathrm{Hom}_{\mathcal{V}(a)}(s,(k)) \longrightarrow \mathrm{Hom}_{\overline{\mathcal{R}}(q)}(\overline{\mathcal{F}}(s), \overline{\mathcal{F}}(k)) \tag{7.2}$$

pour toute suite s et pour tout plus haut poids k de $\widetilde{\mathcal{F}}(s)$. Nous allons procéder par récurrence sur la longueur m de s. Si $m = 1$, on procède comme dans le cas générique. Dans le prochain paragraphe, nous considérons le cas $m = 2$.

7.2. Cas $\mathbf{m = 2}$

Fixons deux entiers $n_1, n_2 \in J$ et k un entier ≥ 0 tel que la partie semisimple de $\widetilde{\mathcal{F}}(n_1, n_2)$ contienne un vecteur de plus haut poids k. D'après (4.1) et (4.2), ceci équivaut à dire que

$$k \leq \inf(n_1 + n_2, 2r - 4 - n_1 - n_2) \quad \text{et} \quad k = n_1 + n_2 - 2j,$$

pour un certain entier j tel que $0 \leq j \leq \inf(n_1, n_2)$. Au vu du §6.1 et du lemme 7.1, pour montrer que l'application

$$\widetilde{\mathcal{F}} : \mathrm{Hom}_{\mathcal{V}(a)}((n_1, n_2), (k)) \to \mathrm{Hom}_{\overline{\mathcal{R}}(q)}(\widetilde{\mathcal{F}}(n_1, n_2), \widetilde{\mathcal{F}}(k))$$

est surjective, il suffit d'établir le lemme suivant.

Lemme 7.2 *Soient deux entiers $n_1, n_2 \in J$ et soit j un entier vérifiant $0 < j \leq \inf(n_1, n_2)$ et $n_1 + n_2 - 2j \leq \inf(n_1 + n_2, 2r - 4 - n_1 - n_2)$. Alors $b_{n_1-i, n_2-i, j-i} \neq 0$ pour tout $i = 0, \ldots, j-1$.*

Démonstration. Remarquons tout d'abord qu'il suffit de le prouver pour $i = 0$. En effet, le triplet $(n_1 - i, n_2 - i, j - i)$ vérifie les conditions imposées à (n_1, n_2, j) pour tout $i = 0, \ldots, j-1$. Rappelons que

$$b_{n_1,n_2,j} = q^{-n_2+j-1} \frac{[n_1 + n_2 - j + 1]_q}{[n_1]_q}$$

et que $\inf(n_1 + n_2, 2r - 4 - n_1 - n_2) = n_1 + n_2 \iff n_1 + n_2 \leq r - 2$. Nous devons montrer que $[n_1 + n_2 - j + 1]_q \neq 0$. Puisque $0 < n_1 + n_2 - j + 1 < 2r$, il nous reste à montrer que $n_1 + n_2 - j + 1 \neq r$ car $[n]_q = 0$ si et seulement si $n \equiv 0 \bmod r$. Supposons par l'absurde que $n_1 + n_2 - j + 1 = r$. Puisque $j \geq 1$, nous avons $n_1 + n_2 > r - 2$ et donc

$$\inf(n_1 + n_2, 2r - 4 - n_1 - n_2) = 2r - 4 - n_1 - n_2.$$

Par conséquent, $n_1 + n_2 - 2j \leq 2r - 4 - n_1 - n_2$, ce qui est équivalent à $j \geq n_1 + n_2 - r + 2$ et entraîne une contradiction. ∎

7.3. Cas $\mathbf{m \geq 3}$

On part d'un objet s de longueur $m \geq 3$. Soit $s' = (n_1, \ldots, n_{m-1})$ l'objet de $\mathcal{V}(a)$ défini par $s = s' \otimes (n_m)$. Soit k un entier ≤ 0 tel que la partie semisimple de $\widetilde{\mathcal{F}}(s)$ contienne un vecteur de plus haut poids k. Par récurrence, nous admettons que l'application (7.2) est surjective pour tout objet de longueur $< m$. Nous devons modifier légèrement les définitions données au début du §6.2.

1. On définit l'ensemble $\{b_1, \ldots, b_q\}$ comme l'ensemble des entiers tels que pour tout $j = 1, \ldots, q$, l'espace de plus haut poids b_j de la partie semisimple de $\widetilde{\mathcal{F}}(s')$ soit non vide et tels qu'il existe un entier ℓ_j vérifiant $0 \leq \ell_j \leq \inf(b_j, n_m)$ et $b_j + n_m - 2\ell_j = k$.
2. Pour $j = 1, \ldots, q$, notons p_j la dimension de l'espace de plus haut poids b_j de la partie semisimple de $\widetilde{\mathcal{F}}(s')$. On fixe également une base $(w_1^{(j)}, \ldots w_{p_j}^{(j)})$ de cet espace.

Lemme 7.3 *Avec les notations de la définition précédente, l'ensemble $\{b_1, \ldots, b_q\}$ est non vide.*

Démonstration. Décomposons $\widetilde{\mathcal{F}}(s')$ en ses parties semisimples et négligeables : $\widetilde{\mathcal{F}}(s') \cong P' \oplus Z'$. Alors

$$\widetilde{\mathcal{F}}(s) \cong \widetilde{\mathcal{F}}(s') \otimes \widetilde{\mathcal{F}}(n_m) \cong (P' \otimes V_{n_m}) \oplus (Z' \otimes V_{n_m}).$$

Puisque $P' \cong \bigoplus_{i=1}^{d} V_{k_i}$ avec $0 \leq k_i \leq r - 2$ pour tout $i = 1, \ldots, d$, nous avons

$$P' \otimes V_{n_m} \cong \bigoplus_{i=1}^{d} (V_{k_i} \otimes V_{n_m}).$$

Or, d'après (4.2),

$$V_{k_i} \otimes V_{n_m} \cong \bigoplus_{\substack{t=|n_m-k_i| \\ t\equiv k_i+n_m \bmod 2}}^{\inf(k_i+n_m,2r-4-k_i-n_m)} V_t \oplus Z \tag{7.3}$$

où Z est un module négligeable. De plus, nous savons qu' il existe un vecteur de plus haut poids k dans la partie semisimple de $\widetilde{\mathcal{F}}(s)$. Nous en déduisons que pour un certain k_i, il existe un indice t dans (7.3) tel que $t = k$, et donc, d'après (4.4), des entiers i et ℓ tels que $k_i + n_m - 2\ell = k$ et $0 \leq \ell \leq \inf(k_i, n_m)$, ce qui prouve que l'ensemble $\{b_1, \ldots, b_q\}$ est non vide. ■

En procédant comme pour le lemme 6.6, on établit le lemme suivant.

Lemme 7.4 *La famille de vecteurs* $v_p^{(j)} = v(w_p^{(j)}, v_0^{n_m}, \ell_j)$ $1 \leq j \leq q$, $1 \leq p \leq p_j$, *forme une base de l'espace de plus haut poids* k *de la partie semisimple de* $\widetilde{\mathcal{F}}(s)$.

La proposition suivante est l'équivalent de la proposition 6.9 dans le cas d'une racine de l'unité. On remarquera toutefois que nous n'avons pas ici d'équivalent du lemme 6.8.

Proposition 7.5 *Il existe une base* $v_1, \ldots, v_{g'}$ *de l'espace de plus haut poids* k *de la partie semisimple de* $\widetilde{\mathcal{F}}(s)$, *des diagrammes* $\mathcal{D}_1, \ldots, \mathcal{D}_{g'}$ *du bon type* $(s,(k))$ *et des nombres complexes* $\alpha_1, \ldots, \alpha_{g'}$, *tous non nuls tels que l'on ait*

$$\begin{aligned} &\mathcal{F}(\mathcal{D}_1)(v_1) = \alpha_1\, v_0^{\otimes k}, \\ &\mathcal{F}(\mathcal{D}_p)(v_{p'}) = 0 \qquad\quad si\ 1 \leq p' < p \leq g', \\ &\mathcal{F}(\mathcal{D}_p)(v_p) = \alpha_p\, v_0^{\otimes k} \quad si\ p \leq g'. \end{aligned}$$

Démonstration. Remarquons tout d'abord que $g' \leq g$ défini dans la proposition 6.9, à cause de la présence éventuelle de modules négligeables : la dimension de l'espace de plus haut poids k de la partie semisimple de $\widetilde{\mathcal{F}}(s)$ dans le cas d'une racine de l'unité est inférieure à la dimension de l'espace de plus haut poids de $\widetilde{\mathcal{F}}(s)$ dans le cas générique. Or, nous avons le même nombre de diagramme du bon type $(s,(k))$ (dont certains peuvent être négligeables). La démonstration de la proposition 6.9 s'adapte au cas présent dès que l'on remplace les espaces de plus haut poids par les espaces de plus haut poids des parties semisimples et le lemme 6.6 par le lemme 7.4. Nous conservons la définition des diagrammes $\overline{\mathcal{D}_{j,p}}$ et le lemme 6.7. ■

A partir de la proposition 7.5 nous procédons comme dans la démonstration du théorème 6.1 à la fin du §6.2 qui s'applique encore ici pour ce qui est de la surjectivité. En conclusion, l'application (7.2) est surjective pour tout $m \geq 3$.

Remerciements. Je remercie Christian Kassel qui m'a soumis le problème. Son aide a été décisive pour l'élaboration de cet article.

Références

[CP] V. Chari, A. Pressley : *A guide to quantum groups*. Cambridge University Press, Cambridge, 1994.

[DeCK] C. De Concini, V. Kac : *Representations of quantum groups at a root of unity.* Progr. in Math., vol. 92, Birkhäuser, Boston 1990, 471–506.

[GHJo] F.M. Goodman, P. de la Harpe, V.F.R. Jones : *Coxeter graphs and towers of algebras.* Mathematical Sciences Research Institute Publications, 14, Springer-Verlag, New-York-Berlin, 1989.

[Ja] J.C. Jantzen : *Lectures on quantum groups.* Graduate Studies in Mathematics, 6. Amer. Math. Soc., Providence, RI, 1996.

[Jo1] V.F.R. Jones : *Index of subfactors.* Invent. Math. **72** (1983), 1–25.

[Jo2] V.F.R. Jones : *Hecke algebra representations of braid groups and link polynomials.* Ann. of Math. (2) **126** (1987), no. 2, 335–388.

[K] C. Kassel : *Quantum groups.* Grad. Texts in Math., Springer-Verlag, New-York, 1995.

[Kf] L.H. Kauffman : *Knots and physics.* World Scientific Publ. Co., Inc., River Edge, NJ, 1993.

[KiM] R. Kirby, P. Melvin : *The 3-manifold invariants of Witten and Reshetikhin-Turaev for* $sl_2(\mathbb{C})$. Invent. Math. **105** (1991), no. 3, 473–545.

[KRoTu] C. Kassel, M. Rosso, V. Turaev : *Quantum groups and knot invariants.* Panoramas et Synthèses, vol. 5, Société Mathématique de France, Paris, 1997.

[Li1] W.B.R. Lickorish : *Three-manifolds and the Temperley-Lieb algebra.* Math. Ann. **290** (1991), no. 4, 657–670.

[Li2] W.B.R. Lickorish : *Calculations with the Temperley-Lieb algebra.* Comment. Math. Helv. **67** (1992), no. 4, 571–591.

[Lu] G. Lusztig : *Quantum deformations of certain simple modules over enveloping algebras.* Adv. Math. **70** (1988), 237–249.

[ML] S. Mac Lane : *Categories for the working mathematician.* Graduate Texts in Mathematics, Vol. 5. Springer-Verlag, New-York-Berlin, 1971.

[Ro] M. Rosso : *Finite-dimensional representations of the quantum analog of the enveloping algebra of a complex simple Lie algebra.* Comm. Math. Phys. **117** (1988), no. 4, 581–593.

[RTu] N. Reshetikhin, V. Turaev : Invariants of 3-manifolds via link polynomials and quantum groups. Invent. Math. **103**, 547–597 (1991).

[TL] H.N.V. Temperley, E.H. Lieb : *Relations between the "percolation" and "colouring" problem and other graph-theoretical problems associated with regular planar lattices : some exact results for the "percolation" problem.* Proc. Roy. Soc. London Ser. A **322** (1971), no. 1549, 251–280.

[Tu1] V. Turaev : *Operator invariants of tangles and R-matrices.* Math. USSR-Izv. **35** (1990), no2, 411–444.

[Tu2] V. Turaev : *Quantum invariants of knots and 3-manifolds.* W. de Gruyter, Studies in Mathematics, Berlin, 1994.

[W] H. Wenzl : *On exact sequences of projections.* C. R. Math. Rep. Acad. Sci. Canada **9** (1987), no. 1, 5–9.